arXiv:2102.08130v1 [cond-mat.str-el] 16 Feb 2021

Локализованный магнетизм в низкоразмерных системах

А. А. Катанин и В. Ю. Ирхин

2 марта 2022 г.

Введение 1

9.1.Квазидвумерные магнетики с анизотропией типа «легкая ось» 5

9.1.1. Нелинейные бозонные представления в теории квазидвумерных ферро- и антиферромагнетиков и ССВТ квазидвумерных магнетиков (5); 9.1.2. Перенормировка вершины взаимодействия и подрешеточной намагниченности в лестничном приближении (15); 9.1.3. Теоретико-полевое описание квазидвумерных магнетиков с локализованными моментами (19); 9.1.4. Описание различных температурных режимов в рамках ренормгруппового подхода и 1/N-разложения (22); 9.1.5. Теоретическое описание экспериментальных данных намагниченности и температур Нееля слоистых систем (29).

9.2.Квазидвумерные магнетики с анизотропией типа «легкая плоскость» 36

9.3.Слоистые изотропные антиферромагнетики с треугольной решеткой 41

9.4.Квазиодномерные изотропные антиферромагнетики 43

9.4.1. Модель и самосогласованный спин-волновой подход (43); 9.4.2. Про- цедура бозонизации (46); 9.4.3. Приближение межцепочечного среднего по- ля для бозонизированного гамильтониана и поправки первого порядка по $1/z_\perp$ (47); 9.4.4. Сравнение с экспериментальными данными (51).

Заключение 51

Введение

Исследование низкоразмерного магнетизма — важная задача современной физики твердого тела. Экспериментальный интерес к этой проблеме связан с возможностью практических применений, например в области спинтроники и квантовых вычислений. В настоящей главе мы ограничимся обсуждением неметаллических систем, которые хорошо описываются обычной моделью локализованных спинов Гейзенберга.

Примеры таких систем с необычными магнитными свойствами — слоистые перовскиты, в том числе Rb_2MnF_4, K_2NiF_4 [1], K_2MnF_4 [2] (анизотропия «легкая ось»),

K_2CuF_4, $NiCl_2$, $BaNi_2(PO_4)_2$ [3] (анизотропия «легкая плоскость»), органические соединения [4, 5], ферромагнитные пленки, мультислои и поверхности [6]. В конце прошлого столетия интерес к низкоразмерным соединениям возрос в связи с исследованиями магнитных свойств медь-кислородных плоскостей в высокотемпературных сверхпроводниках, в том числе на основе La_2CuO_4 [7].

В последнее время активно исследуются так называемые ван-дер-ваальсовы слоистые и двумерные (монослойные) системы, наиболее известными представителями которых являются CrI_3 и $CrBr_3$ [8]. Магнитные свойства в таких материалах существенно зависят от структуры и количества слоев, а также чувствительны к внешним воздействиям, что обуславливает их практическую перспективность. Например, объемный кристаллический CrI_3 является ферромагнитным с температурой Кюри 61 K и ромбоэдрической упаковкой слоев, в то время как при малом числе слоев возникает слоистая антиферромагнитная фаза с более низкой температурой упорядочения 45 K и моноклинной упаковкой [9].

Еще один класс низкоразмерных магнитных систем с локальными моментами — квазиодномерные соединения, содержащие цепочки магнитных атомов с маленьким межцепочечным обменом. К ним может быть отнесено, в частности, такое хорошо экспериментально исследованное соединение как $KCuF_3$ [10], а также ряд систем на основе стронция, например Sr_2CuO_3 ($S = 1/2$) [11, 12] и цезия: $CsNiCl_3$ ($S = 1$) [13], $CsVCl_3$ ($S = 3/2$) [14]. Родственный класс соединений представляет собой системы со «спиновыми лестницами» — ограниченным числом цепочек магнитных атомов, связанных обменным взаимодействием [15].

В отличие от трехмерных систем, возможность магнитного упорядочения в низкоразмерных системах значительно ограничена из-за сильных флуктуаций магнитного параметра порядка. Как известно, магнитный порядок в чисто одно- и двумерных изотропных системах отсутствует при конечных температурах. Согласно теореме Мермина—Вагнера, двумерные изотропные магнетики обладают дальним порядком только в основном состоянии, а точные результаты для одномерных изотропных антиферромагнетиков свидетельствуют об отсутствии дальнего магнитного порядка даже при $T = 0$. Реальные соединения обладают конечной величиной температуры магнитного перехода $T_{\mathrm{M}} \ll |J|$ (J — величина обменного взаимодействия в цепочках или в плоскости), обусловленной слабым межцепочечным (межплоскостным) обменом и (или) анизотропией. Малость температуры перехода приводит к ряду специфических особенностей этих систем. В частности, выше точки магнитного перехода ближний магнитный порядок полностью не разрушается (в двумерной ситуации он сохраняется до $T \sim |J|$), так что существует широкая область выше T_{M} с сильным ближним порядком [2, 7].

Существенный прогресс в понимании свойств основного состояния и термодинамики одно- и двумерных систем был достигнут благодаря численным методам (квантовый метод Монте-Карло и метод ренормгруппы). В то же время такие методы не заменяют

аналитических подходов, позволяющих описать термодинамические свойства слоистых систем в широком интервале температур и полезных как для теоретического понимания физических свойств этих систем, не очевидных из результатов численных расчетов, так и для практических целей описания реальных соединений.

Стандартная теория спиновых волн [16—18] применима к низкоразмерным магнетикам лишь при низких температурах $T \ll T_{\mathrm{M}}$. Эта теория пренебрегает взаимодействием спиновых волн, что приводит, в частности к резкому завышению температур фазового перехода низкоразмерных соединений. Проблема магнон-магнонного взаимодействия в ферромагнетиках впервые детально исследовалась в классических работах Дайсона [17], построившего последовательную теорию термодинамических свойств при низких температурах. Позже эти результаты были воспроизведены Малеевым с помощью нелинейного бозонного представления спиновых операторов [18]. В этом формализме проблема взаимодействия спиновых волн сводится к динамическому взаимодействию магнонов. Формализм Дайсона—Малеева был применен к проблеме взаимодействия спиновых волн в трехмерных [19] и двумерных [20] антиферромагнетиках; особое внимание в этих работах уделялось вычислению спин-волнового затухания, которое оказалось малым в широкой области импульсного пространства при достаточно низких температурах. Неаналитические поправки к спектру спиновых волн и теплоемкости низкоразмерных систем, возникающие за счет динамического взаимодействия магнонов, были исследованы в работах [21].

При температурах, не малых по сравнению с температурой магнитного перехода, существенную роль начинает играть кинематическое взаимодействие спиновых волн, возникающее вследствие ограничения числа бозонов на узле. Бозон-фермионное представление, позволяющее в явном виде учесть кинематическое взаимодействие спиновых волн, было предложено Барьяхтаром, Криворучко и Яблонским [22, 23]. Введение вспомогательных фермионов в этом представлении позволяет избежать дополнительного условия для числа бозонов на узле. При не слишком низких температурах, однако, спин-волновая картина возбуждений становится полностью неадекватной и для правильного описания термодинамики необходим учет неспинволновых возбуждений. В некоторой степени эта ситуация аналогична теории зонного магнетизма, где теория Стонера (среднего поля) неспособна адекватно описать термодинамические свойства, что стимулировало развитие спин-флуктуационных теорий [24]. Последние оказались особенно успешными в случае слабых зонных магнетиков, аналогичных, в некоторой степени, низкоразмерным магнитным системам с малыми значениями точки перехода. В то время как вклад неспинволновых возбуждений в термодинамические свойства локализованных магнетиков обсуждался много лет назад в рамках феноменологической теории [25, 26], соответствующая микроскопический подход начал развиваться лишь в последнее время в рамках так называемого $1/N$-разложения [27], где N — число спиновых компонент ($N = 3$ для модели Гейзенберга). Это разложение оказалось удивительно

успешным при описании термодинамических свойств двумерных [27] и квазидвумерных [28] магнетиков.

В одномерных антиферромагнетиках картина спектра возбуждений сильно зависит от спина S. Начиная с работ Бете, построившего точную волновую функцию («Бете-анзац») для одномерной антиферромагнитной цепочки, известно, что эти системы не обладают дальним магнитным порядком даже в основном состоянии. Современные теоретические подходы к одномерным системам основаны на идее Халдейна [30, 31], выполнившего преобразование проблемы цепочки к нелинейной сигма-модели. Согласно результатам Халдейна, случаи целого и полуцелого спина качественно различны. Для полуцелого спина появляется так называемый топологический член в эффективном действии, приводящий к необычному магнитному поведению таких цепочек.

Для одной цепочки с $S = 1/2$ (та же самая ситуация имеет место при любом полуцелом значении спина), основное состояние обладает «квазидальним порядком», когда спиновые корреляции на больших расстояниях спадают по степенному, а не экспонециальному закону. Спектр возбуждений при этом является бесщелевым, хотя намагниченность равна нулю (что напоминает двумерную классическую XY модель ниже точки Березинского—Костерлица—Таулеса T_{BKT}). В то же время для целых значений спина S спектр возбуждений содержит так называемую халдейновскую щель порядка $\exp(-pS)$ и структура спектра возбуждений близка к предсказаниям спин-волновой теории.

В связи с «экзотическим» поведением цепочек с полуцелым спином они не могут быть исследованы в рамках спин-волновой теории и их рассмотрение требует принципиально новых физическим подходов. Для предельно квантового случая $S = 1/2$ (который также наиболее важен с практической точки зрения) был развит метод бозонизации, использующий представление Йордана—Вигнера спиновых операторов через фермионные. Далее выполняется переход от фермионных операторов к бозонным, описывающим коллективные (не спин-волновые) магнитные возбуждения. Этот подход оказался также успешен при исследовании спиновых лестниц [15, 32, 33].

Для исследования квазиодномерных систем были развиты комбинация бозонизации (и (или) Бете-анзаца) с методом ренормгруппы [34—36] и межцепочечным приближением среднего поля [37]. Эти методы предсказывают конечную величину температуры магнитного перехода $T_{\mathrm{N}} \propto |J'|$ при сколь угодно малой величине межцепочечного взаимодействия J'. В то время как первый подход не позволяет получить каких-либо количественных оценок величины T_{N}, второй пренебрегает спиновыми корреляциями на разных цепочках, что приводит к резкому завышению температур Нееля по сравнению с их экспериментальными значениями. Таким образом, теория межцепочечного среднего поля приводит к тем же трудностям при описании квазиодномерных магнетиков, что и спин-волновая теория в квазидвумерных магнетиках. Эта ситуация опять же аналогична проблемам теории Стонера при описании зонных магнетиков.

Итак, описание квазидвумерных и квазиодномерных магнетиков требует существен-

но новых подходов к этим системам, рассмотрение которых и является предметом настоящей главы.

1 Квазидвумерные магнетики с анизотропией типа «легкая ось»

Для рассмотрения квазиодномерных и двумерных магнетиков с локализованными моментами используем модель Гейзенберга

$$\mathscr{H} = -\frac{J}{2}\sum_{i\delta_\parallel} \mathbf{S}_i \mathbf{S}_{i+\delta_\parallel} + \mathscr{H}_{\rm 3D} + \mathscr{H}_{\rm anis}, \tag{1}$$

$$\mathscr{H}_{\rm 3D} = -\frac{J'}{2}\sum_{i\delta_\perp} \mathbf{S}_i \mathbf{S}_{i+\delta_\perp},$$

$$\mathscr{H}_{\rm anis} = -\frac{J\eta}{2}\sum_{i\delta_\parallel} S_i^z S_{i+\delta_\parallel}^z - |J|\zeta \sum_i (S_i^z)^2, \tag{2}$$

где $J > 0$ для ферромагнетика, $J < 0$ для антиферромагнетика — обменный интеграл в плоскости, $\mathscr{H}_{\rm 3D}$ соответствует гамильтониану межцепочечного (межслоевого) взаимодействия, $J' = 2\alpha J$ является параметром обмена между цепочками (слоями), для определенности ниже рассматривается случай $\alpha > 0$, $\delta_\parallel$ и $\delta_\perp$ обозначают ближайших соседей в пределах цепочки (слоя) и для различных цепочек (слоев). $\mathscr{H}_{\rm anis}$ — анизотропная часть взаимодействия, возникающая в результате влияния кристаллического поля окружающих ионов; η, $\zeta > 0$ — параметры обменной и одноионной анизотропии соответственно.

1.1 Нелинейные бозонные представления в теории квазидвумерных ферро- и антиферромагнетиков и ССВТ квазидвумерных магнетиков

При достаточно низких температурах $T \ll T_{\rm M}$ элементарными возбуждениями в магнетиках являются спиновые волны. Для описания этих возбуждений удобно перейти от спиновых операторов к бозонным. В настоящее время используются различные представления такого вида, в частности представление Дайсона—Малеева [17, 18, 23]

$$S_i^+ = \sqrt{2S} b_i, \quad S_i^z = S - b_i^\dagger b_i, \tag{3}$$

$$S_i^- = \sqrt{2S}\left(b_i^\dagger - \frac{1}{2S} b_i^\dagger b_i^\dagger b_i\right),$$

($b_i^\dagger$, b_i — магнонные бозе-операторы), которое удобно для описания магнитоупорядоченной фазы. Бозонные операторы в этом представлении должны удовлетворять условию на числа заполнения на узле $N_{bi} = \langle b_i^\dagger b_i \rangle < 2S$, что приводит к так называемому кинематическому взаимодействию спиновых волн. Чтобы обойти эту трудность, Барьяхтар, Криворучко и Яблонский ввели представление [22, 23]

$$S_i^+ = \sqrt{2S} b_i, \quad S_i^z = S - b_i^\dagger b_i - (2S+1) c_i^\dagger c_i, \tag{4}$$

$$S_i^- = \sqrt{2S}\left(b_i^\dagger - \frac{1}{2S} b_i^\dagger b_i^\dagger b_i\right) - \frac{2(2S+1)}{\sqrt{2S}} b_i^\dagger c_i^\dagger c_i,$$

содержащее помимо бозонных операторов вспомогательные псевдофермионные операторы $c_i^\dagger$, c_i, учитывающие кинематическое взаимодействие спиновых волн. В случае антиферромагнетика с двумя подрешетками используется разбиение исходной решетки на две подрешетки, в каждой из которых используется представление (4) и сопряженное ему. При низких температурах соответствующая энергия псевдофермионов порядка $|J|$, так что их вклад в термодинамические величины экспоненциально мал и им можно пренебречь. В то же время, кинематическое взаимодействие спиновых волн становится существенным при $T \sim |J|$.

Другое полезное представление спиновых операторов — представление швингеровских бозонов [38—40]

$$\mathbf{S}_i = \frac{1}{2} \sum_{\sigma\sigma'} s_{i\sigma}^\dagger \boldsymbol{\sigma}_{\sigma\sigma'} s_{i\sigma'}, \tag{5}$$

где $\boldsymbol{\sigma}$ — матрицы Паули, $\sigma, \sigma' = (\uparrow, \downarrow)$, так что

$$S_i^z = \frac{1}{2}(s_{i\uparrow}^\dagger s_{i\uparrow} - s_{i\downarrow}^\dagger s_{i\downarrow}), \quad S_i^+ = s_{i\uparrow}^\dagger s_{i\downarrow}, \quad S_i^- = s_{i\downarrow}^\dagger s_{i\uparrow}. \tag{6}$$

Условие

$$s_{i\uparrow}^\dagger s_{i\uparrow} + s_{i\downarrow}^\dagger s_{i\downarrow} = 2S \tag{7}$$

ограничивает число спиновых состояний и должно выполняться на каждом узле решетки. Так как одновременное изменение фаз $s_{i\uparrow}$ и $s_{i\downarrow}$ бозонов, $s_{i\sigma} \to s_{i\sigma} \exp(i\phi_i)$ не меняет физических результатов, это представление обладает калибровочной симметрией. Этот факт может быть использован для нахождения связи представления швингеровских бозонов с известным представлением Гольштейна—Примакова [41]. Действительно, если фиксировать калибровку условием эрмитовости одного из операторов $s_{i\sigma}$, например $s_{i\uparrow}$, имеем из (7)

$$s_{i\uparrow} = \sqrt{2S - s_{i\downarrow}^\dagger s_{i\downarrow}}. \tag{8}$$

Подставляя в (6), получаем представление Гольштейна—Примакова. Таким образом, представления швингеровских бозонов и Гольштейна—Примакова эквивалентны. Эта

эквивалентность, однако, может быть нарушена в приближенных подходах. В отличие от представления Гольштейна—Примакова (или Дайсона—Малеева), представление швингеровских бозонов может быть легко обобщено на произвольное число сортов бозонов $N \geqslant 2$, что приводит к модели с $\mathrm{SU}(N)/\mathrm{SU}(N-1)$ симметрией и позволяет построение $1/N$-разложения [39].

Взаимодействие магнонов в наинизшем (борновском) приближении рассматривается в так называемой самосогласованной спин-волновой теории (ССВТ). Впервые эта теория была применена много лет назад к трехмерной модели Гейзенберга [42]; те же самые результаты были получены позднее в рамках вариационного подхода для изотропной [43] и анизотропной [44] модели Гейзенберга. Близкие идеи использовались недавно для описания двумерных магнетиков в теории «среднего поля» для бозонных операторов [39,40,45], основанной на представлении операторов спина через швингеровские бозоны, и «модифицированной спин-волновой теории» [46], основанной на представлении Дайсона—Малеева. Результаты этих теорий находятся в хорошем согласии с ренормгрупповыми вычислениями [47,48] и экспериментальными данными для спектра возбуждений низкоразмерных систем [3]. ССВТ также применялась к квазидвумерным [49—52], фрустрированным двумерным [53—57] и трехмерным [54] антиферромагнетикам.

Для вывода уравнений ССВТ используем представление Дайсона—Малеева (3). После подстановки в гамильтониан представления спиновых операторов через бозонные, возникают члены второй и четвертой степени по бозонным операторам. В то время как квадратичные вклады описывают распространение свободных спиновых волн, вторые соответствуют их взаимодействию. Учитывая взаимодействие спиновых волн в наинизшем приближении, т. е. расцепляя четверные формы бозонных операторов по теореме Вика, получаем квадратичный гамильтониан ССВТ

$$\mathscr{H} = \sum_{i\delta} J_\delta \gamma_\delta (b_i^\dagger b_i - b_{i+\delta}^\dagger b_i) - \mu \sum_i b_i^\dagger b_i, \tag{9}$$

где

$$\gamma_{\delta_\perp} = \gamma = \bar{S} + \langle b_i^\dagger b_{i+\delta_\perp} \rangle, \quad \gamma_{\delta_\parallel} = \gamma' = \bar{S} + \langle b_i^\dagger b_{i+\delta_\parallel} \rangle \tag{10}$$

— параметры ближнего порядка, определяющие спиновые корреляционные функции на соседних узлах и

$$|\langle \mathbf{S}_i \mathbf{S}_{i+\delta} \rangle| = \gamma_\delta^2, \tag{11}$$

удовлетворяющие уравнениям

$$\gamma = \bar{S} + \sum_{\mathbf{k}} N_{\mathbf{k}} \cos k_x, \quad \gamma' = \bar{S} + \sum_{\mathbf{k}} N_{\mathbf{k}} \cos k_z. \tag{12}$$

Намагниченность ферромагнетика $\bar{S} = \langle S^z \rangle$ определяется полным числом бозонов:

$$\bar{S} = S - \sum_{\mathbf{k}} N_{\mathbf{k}}, \tag{13}$$

где $N_{\mathbf{k}} = N(E_{\mathbf{k}})$ — функция Бозе, причем спектр спиновых волн имеет вид

$$E_{\mathbf{q}}^{\mathrm{SSWT}} = \Gamma_0 - \Gamma_{\mathbf{q}} + \Delta - \mu, \tag{14}$$

$$\Gamma_{\mathbf{q}} = 2S[\gamma|J|(\cos q_x + \cos q_y) + \gamma'|J'|\cos q_z],$$

$$\Delta = |J|\left[(2S-1)\zeta + 4\eta\frac{S^2}{\gamma}\right]\left(\frac{\bar{S}}{S}\right)^2.$$

Хотя ССВТ может быть обоснована лишь при температурах $T \ll T_{\mathrm{M}}$ (при которых существует развитый дальний порядок и взаимодействие спиновых волн мало), представляет интерес экстраполяция результатов ССВТ на более высокие температуры $T \sim T_{\mathrm{M}}$, что позволяет сравнить результаты ССВТ с результатами более сложных теорий, рассматриваемых в разделе 1.2. Для продолжения теории в разупорядоченную фазу в (14) введен химический потенциал бозонов μ, дающий возможность удовлетворить условию ограниченности общего числа бозонов при $T > T_{\mathrm{C}}$, где $\bar{S} = 0$ [23, 30, 46]. При $T < T_{\mathrm{C}}$ имеем $\mu = 0$, так что число бозонов не ограничено. Вычисление спиновых корреляционных функций показывает [46], что химический потенциал непосредственно определяет корреляционную длину ξ_δ в направлении δ согласно соотношению

$$\xi_\delta^{-1} = \sqrt{-\frac{\mu}{|J_\delta\gamma_\delta|}}. \tag{15}$$

Для антиферромагнетика уравнения ССВТ имеют вид [51, 52]

$$\gamma = \bar{S} + \sum_{\mathbf{k}} \frac{\Gamma_{\mathbf{k}}}{2E_{\mathbf{k}}}\cos k_x \coth\frac{E_{\mathbf{k}}}{2T}, \tag{16}$$

$$\gamma' = \bar{S} + \sum_{\mathbf{k}} \frac{\Gamma_{\mathbf{k}}}{2E_{\mathbf{k}}}\cos k_z \coth\frac{E_{\mathbf{k}}}{2T},$$

$$\bar{S} = S + \frac{1}{2} - \sum_{\mathbf{k}} \frac{\Gamma_0 + \Delta - \mu}{2E_{\mathbf{k}}}\coth\frac{E_{\mathbf{k}}}{2T},$$

где

$$\gamma = \bar{S} + \langle a_i b_{i+\delta_\perp}\rangle, \quad \gamma' = \bar{S} + \langle a_i b_{i+\delta_\parallel}\rangle \tag{17}$$

и энергия спиновых волн равна

$$E_{\mathbf{q}}^{\mathrm{SSWT}} = \sqrt{(\Gamma_0 + \Delta - \mu)^2 - \Gamma_{\mathbf{q}}^2}. \tag{18}$$

Как и для ферромагнетиков, химический потенциал бозонов μ, отличный от нуля выше температуры магнитного перехода, определяет корреляционную длину согласно соотношению (15).

В основном состоянии ферромагнетика $\bar{S}_0 = S$ и $\gamma_0 = \gamma(T=0) = 1$, подрешеточная же намагниченность и параметр ближнего порядка двумерного антиферромагнетика отличается от этих значений из-за квантовых нулевых колебаний спинов:

$$\bar{S}_0 = S - \frac{1}{2}\sum_{\mathbf{k}} \left[\frac{1}{\sqrt{1-\phi_{\mathbf{k}}^2}} - 1 \right] \simeq S - 0.1966, \tag{19}$$

$$\gamma_0 = 1 + \frac{1}{2S}\sum_{\mathbf{k}} \left[1 - \sqrt{1-\phi_{\mathbf{k}}^2} \right] \approx 1 + \frac{0.0790}{S}, \tag{20}$$

где $\phi_{\mathbf{k}} = (\cos k_x + \cos k_y)/2$. При этом подрешеточная намагниченность составляет 40% от ее величины в ферромагнитном случае и совпадает с ее значением в спин-волновой теории [16], перенормировка же параметра обмена в плоскости достигает 15%. Как и в стандартной теории спиновых волн, в отсутствие анизотропии ($\delta = 0$) спектр спиновых волн в упорядоченной фазе является бесщелевым и при малых q имеет вид $E_{\mathbf{q}} = Dq^2$ в ФМ случае и $E_{\mathbf{q}} = cq$ в АФМ случае, где D — константа жесткости спиновых волн, c — скорость спиновых волн. В ССВТ эти параметры выражаются через параметры (19), (20) согласно соотношениям

$$D = JS, \quad c = \sqrt{8}|J|\gamma S. \tag{21}$$

Выражение для спиновой жесткости ферро- и антиферромагнетика, определенной из анализа поперечной восприимчивости, имеет вид

$$\rho_{\mathrm{s}} = JS^2 \ (\text{ФМ}), \quad \rho_{\mathrm{s}} = |J|\gamma S\bar{S}_0 \ (\text{АФМ}). \tag{22}$$

Перенормированные (наблюдаемые) параметры межплоскостного обмена и анизотропии, определенные из спектра возбуждений равны

$$f_{\mathrm{r}} = \frac{\Delta}{\gamma|J|S} = \frac{1}{\gamma S}\left[(2S-1)\zeta + 4\eta\frac{S}{\gamma} \right] \left(\frac{\bar{S}}{S} \right)^2, \tag{23}$$

$$\alpha_{\mathrm{r}} = \frac{2\gamma'}{\gamma} = \alpha\frac{\bar{S}}{S}. \tag{24}$$

Отметим, что в отличие от параметра внутриплоскостного обмена, перенормировка параметров α, η, ζ пропорциональна намагниченности, и, таким образом, обладает сильной температурной зависимостью.

При конечных температурах в отсутствии межплоскостного обмена и анизотропии ($J' = 0$, $\delta = 0$) дальний порядок отсутствует в соответствии с теоремой Мермина—Вагнера, так что $\bar{S} = 0$, $\mu < 0$. Этот факт является следствием расходимости интегралов в уравнениях (12) и (16) при $T > 0$ и $\mu = 0$, приводящей к отсутствию решений

с ненулевой намагниченностью, При низких температурах $T \ll |J|S^2$ абсолютная величина химического потенциала бозонов экспоненциально мала, так что корреляционная длина $\xi = \sqrt{-|J\gamma|/\mu}$ экспоненциально велика (так называемый перенормированный классический режим),

$$\xi = C_\xi^{\mathrm{F}} \sqrt{\frac{J}{T}} \exp\left(\frac{2\pi\rho_{\mathrm{s}}}{T}\right) \quad (\text{ФМ}), \tag{25}$$

$$\xi = C_\xi^{\mathrm{AF}} \frac{J}{T} \exp\left(\frac{2\pi\rho_{\mathrm{s}}}{T}\right) \quad (\text{АФМ}), \tag{26}$$

где $C_\xi^{\mathrm{F,AF}}$ — зависящие от спина константы. Результаты (25), (26) согласуются с результатами однопетлевого ренормгруппового (РГ) подхода [47, 48]. Двухпетлевой РГ анализ изменяет только предэкспонециальный множитель: в АФМ случае он становится температурно-независимой постоянной [47], в то время как в ФМ случая пропорционален $\sqrt{T/J}$ (см. [48]).

В присутствии межплоскостного обмена при не слишком высоких температур $T < T_{\mathrm{M}}$ (температура магнитного упорядочения T_{M} будет рассчитана ниже) появляется дальний магнитный порядок, при этом уравнения (12) и (16) имеют решения с $\bar{S} > 0$.

При низких температурах ($T \ll |J'|S$) и произвольном J'/J поправки к намагниченности основного состояния ферромагнетика пропорциональны $T^{3/2}$, в то время как параметры ближнего порядка имеют более слабую $T^{5/2}$ — зависимость, для антиферромагнетика соответствующие зависимости — T^2 и T^4 [52]. При $T > T_{\mathrm{M}}$ снова имеем $\bar{S} = 0$ и $\mu < 0$, так же как в двумерном случае при конечных T.

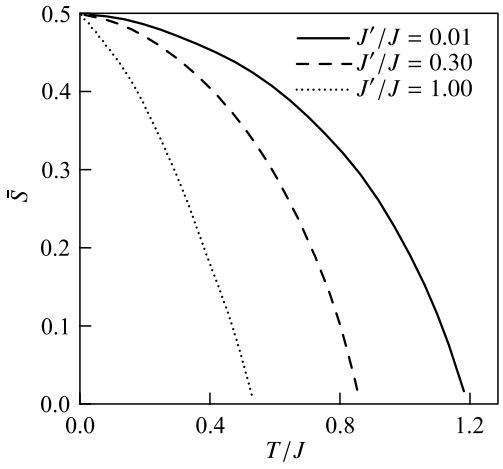


Рис. 1: Температурная зависимость намагниченности квазидвумерных ферромагнетиков при разных значениях отношения обменных интегралов между плоскостями и в плоскости J'/J ($S = 1/2$)

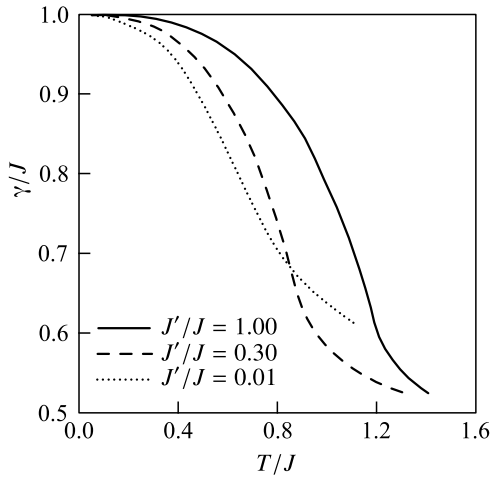


Рис. 2: Зависимость параметра ближнего порядка g от температуры при тех же значениях параметров, что и на рисунке 1

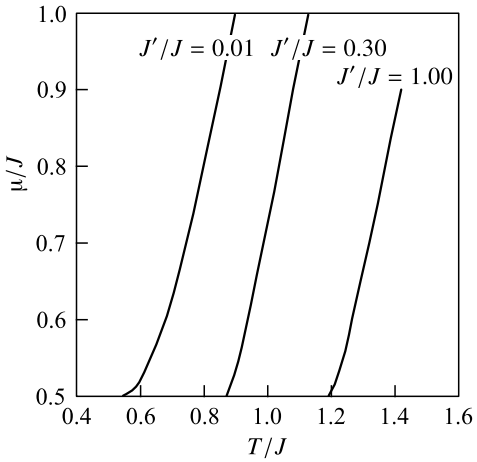


Рис. 3: Зависимость щели в спектре бозонов от температуры при тех же значениях параметров, что и на рисунке 1

Для численного исследования температурной зависимости намагниченности и параметров ближнего порядка при не слишком малых значениях межслоевого обмена удобно использовать приближение эффективного параметра ближнего порядка, производя замену [52]

$$\sum_{\delta} J_{i,i+\delta}\gamma_{\delta}(b_i^{\dagger}b_i - b_i^{\dagger}b_{i+\delta}) \to \gamma_{\text{eff}} \sum_{\delta} J_{i,i+\delta}(b_i^{\dagger}b_i - b_i^{\dagger}b_{i+\delta}). \tag{27}$$

Температурная зависимость намагниченности и параметра ближнего порядка ферромагнетика для различных J'/J показаны на рисунках 1—3. При малых $T - T_{\text{M}}$ имеем $-\mu \propto (T - T_{\text{M}})^2$ (см. рис. 3 для ферромагнитного случая, та же самая ситуация имеет место в АФМ случае), так что согласно (15) критический индекс для корреляционной длины $\nu = 1$. Так как намагниченность изменяется линейно около T_{M}, критический индекс намагниченности $\beta = 1$. Влияние поправок более высокого порядка по $1/S$ на значение критических индексов обсуждается ниже. В классическом пределе $S \to \infty$ уравнения ССВТ упрощаются и при $T < T_{\text{M}}$ ($\mu = 0$) усредненный (по ближайшим соседям) параметр ближнего порядка

$$\gamma_{\text{eff}}(T) = \frac{4J\gamma + 2J'\gamma'}{J_0} \tag{28}$$

(но не намагниченность!) удовлетворяет стандартному уравнению среднего поля

$$\frac{\gamma_{\text{eff}}}{S} = B_{\infty}\frac{J_0\gamma_{\text{eff}}S}{T}, \tag{29}$$

где $B_{\infty}(x) = \coth x - 1/x$ — функция Ланжевена (функция Бриллюэна в классическом пределе). Температура T^*, при которой $\gamma_{\text{eff}}(T^*) = 0$, оказывается выше чем температура магнитного фазового перехода T_{M}, так что $\gamma_{eff}(T_{\text{M}}) > 0$, а поведение γ_{eff} при $T > T_{\text{M}}$ более сложно, чем (29).

При малых значениях межплоскостного обмена $J'/J \ll 1$ и анизотропии $\eta, \zeta \ll 1$ возможно получение аналитических результатов для температурной зависимости намагниченности в широком диапазоне температур [49, 52]. При этом ССВТ приводит к различным результатам для намагниченности в «квантовом» и «классическом» температурных режимах. Оказывается, что эти режимы не связаны однозначно со случаем квантовых ($S \sim 1$) и классических ($S \gg 1$) спинов (хотя классический режим реализуется лишь при $S \gg 1$), поскольку реальные критерии зависят от температуры (см. ниже).

В квантовом режиме, который имеет место при не слишком низких температурах

$$J'S \ll T \ll JS \quad (\text{ФМ}),$$

$$(JJ')^{1/2}S \ll T \ll |J|S \quad (\text{АФМ}) \tag{30}$$

(подрешеточная) намагниченность равна

$$\bar{S} = \begin{cases} S - \dfrac{T}{4\pi JS} \ln \dfrac{T}{J'\gamma' S} & (\text{ФМ}), \\ \bar{S}_0 - \dfrac{T}{4\pi |J|\gamma S} \ln \dfrac{T^2}{8JJ'\gamma\gamma' S^2} & (\text{АФМ}). \end{cases} \tag{31}$$

Параметры ближнего порядка определяются соотношениями $\gamma \simeq \gamma_0$ и

$$\gamma' = \begin{cases} S - \dfrac{T}{4\pi JS} \left(\ln \dfrac{T}{J'\gamma' S} - 1 \right) & (\text{ФМ}), \\ \bar{S}_0 - \dfrac{T}{4\pi |J|\gamma S} \left(\ln \dfrac{T^2}{8JJ'\gamma\gamma' S^2} - 1 \right) & (\text{АФМ}), \end{cases} \tag{32}$$

так что $\gamma'_0 = \bar{S}_0$. Отметим, что в квантовом режиме (30) интегралы по квазиимпульсам в уравнениях ССВТ определяются вкладом квазиимпульсов $q < q_0$, где

$$q_0 = \begin{cases} \sqrt{T/JS} & (\text{ФМ}), \\ T/c & (\text{АФМ}), \end{cases} \tag{33}$$

а не всей зоной Бриллюэна. Для критических температур в режиме (30) получаем результаты

$$T_{\text{C}} = \frac{4\pi JS^2}{\ln(T/J'\gamma'_{\text{c}} S)}, \tag{34}$$

$$T_{\text{N}} = \frac{4\pi |J|\gamma_{\text{c}} \bar{S}_0}{\ln(T^2/8JJ'\gamma_{\text{c}}\gamma'_{\text{c}} S^2)},$$

где $\gamma_{\text{c}} \simeq \gamma_0$ и γ'_{c} — перенормированные обменные параметры в $T_{\text{M}} = T_{\text{C}}$ (T_{N}); значение γ'_{c}, определенное из (32), есть

$$\gamma'_{\text{c}} = (T_{\text{M}}/4\pi |J|\gamma_{\text{c}} S^2) J'. \tag{35}$$

Перенормировка межплоскостного обмена в (34) приводит к существенному понижению температуры Кюри (Нееля) по сравнению с ее значением в спин-волновой теории, поскольку $\gamma_{\text{c}}\gamma'_{\text{c}}/JJ' = T_{\text{M}}/4\pi JS^2 \ll 1$.

В случае больших S (классический предел) получаем для ферро- и антиферромагнетиков при $T \gg |J|S$

$$\bar{S} = S - \frac{T}{4\pi |J|S} \ln \frac{q_0^2 J}{J'\gamma'}, \tag{36}$$

$$\gamma' = S - \frac{T}{4\pi |J|S} \left(\ln \frac{q_0^2 J}{J'\gamma'} - 1 \right). \tag{37}$$

В отличие от квантового случая, результаты для намагниченности в этом пределе неуниверсальны, т. к. зависят от типа решетки через параметр обрезки q_0^2 (для квадратной решетки $q_0^2 = 32$). Соответствующее выражение для критической температуры классического магнетика с $1 \ll \ln(q_0^2 J/J') \ll 2\pi S$ имеет вид

$$T_{\rm M} = \frac{4\pi|J|S^2}{\ln(q_0^2 J/J'\gamma_{\rm c}')}, \tag{38}$$

где $\gamma_{\rm c}' = T_{\rm M}/4\pi|J|S$. Как и должно быть, критическая температура одинакова для классических ферро- и антиферромагнетиков. С логарифмической точностью в этом случае воспроизводятся результаты спин-волновой теории, где $\gamma_{\rm c}'/S \to 1$. Аналогичные результаты могут быть получены в случае малой анизотропии «легкая ось» [29, 66]

$$T_{\rm C} = \frac{4\pi J S^2}{\ln(T/\Delta_{\rm c})}, \tag{39}$$

$$T_{\rm N} = \frac{4\pi|J|S\bar{S}_0\gamma_{\rm c}}{\ln(T^2/8J\gamma_{\rm c}S\Delta_{\rm c})}.$$

где величина щели в спектре спиновых волн $\Delta_{\rm c} = \Delta(T_{\rm M})$ не может быть определена в рамках спин-волновой теории. В пределе больших S находим как для ферро-, так и для антиферромагнетиков

$$T_{\rm M} = \frac{4\pi|J|S^2}{\ln(|J|Sq_0^2/\Delta_{\rm c})}. \tag{40}$$

Результаты (34) и (38) могут быть сопоставлены с результатом приближения Тябликова. В этом приближении (в случае ферромагнетика) интерполяционные выражения для запаздывающей коммутаторной спиновой функции Грина и перенормированного спектра спиновых волн имеют вид

$$\langle\langle S_{\mathbf{q}}^+ | S_{-\mathbf{q}}^- \rangle\rangle_\omega = \frac{2\langle S^z\rangle}{\omega - \omega_{\mathbf{q}}}, \quad \omega_{\mathbf{q}} = 2\langle S^z\rangle(J_0 - J_{\mathbf{q}}) + h \tag{41}$$

(h — магнитное поле). Метод Тябликова грубо описывает термодинамику обычно трехмерной модели Гейзенберга как при высоких, так и при низких температурах, хотя члены более высокого порядка в низкотемпературном разложении не вполне согласуются с результатами Дайсона [15] из-за неправильного учета взаимодействия спиновых волн (в частности, появляются «лишние» T^3-члены в намагниченности). Многочисленные попытки улучшить область спин-волнового описания, используя более сложные процедуры расцепления (см. [58]), привели к ухудшению интерполяции. Вблизи $T_{\rm M}$ теория Тябликова дает такое же поведение намагниченности (подрешетки), как и теория среднего поля.

Значение температуры Кюри в приближении Тябликова для произвольного значения S равно

$$T_{\rm C} = \frac{S(S+1)}{3}\left(\sum_{\mathbf{q}} \frac{1}{J_0 - J_{\mathbf{q}}}\right)^{-1}. \tag{42}$$

Соответствующее выражение для антиферромагнетика получается заменой $J_0 \to J_{\mathbf{Q}}$. Для температуры магнитного перехода слоистых соединений интегрирование дает [28]

$$T_{\rm M} \simeq \frac{4\pi|J|S(S+1)}{3\ln(|J|q_0^2/J')} \tag{43}$$

с $q_0^2 = 32$. Результат (43) для спина $1/2$ численно меньше, чем значение ССВТ (34), а потому лучше описывает экспериментальные данные (см. раздел 1.5). С другой стороны, в классическом пределе $S \to \infty$, (42) совпадает с результатом для сферической модели [67], что подтверждает его интерполяционный характер. В связи со сложностью улучшения приближения Тябликова, оно может быть частично удовлетворительно с практической, но не с теоретической точки зрения.

Хотя с логарифмической точностью все обсуждавшиеся подходы приводят в квантовом пределе $S = 1/2$ к одному и тому же значению температуры Нееля, эта точность недостаточна для количественного описания экспериментальных данных, критическое поведение описывается спин-волновыми теориями также неправильно. Формально ССВТ соответствует пределу $N \to \infty$ в ${\rm SU}(N)/{\rm SU}(N-1)$ обобщении модели Гейзенберга [39]. Чтобы улучшить описание критической области и вычисление температур Кюри (Нееля), необходимо рассмотреть флуктуационные поправки к результатам теории спиновых волн более аккуратно, чем в ССВТ. Вычисление поправок первого порядка по $1/N$ в ${\rm SU}(N)/{\rm SU}(N-1)$ модели может позволить описать область низких и промежуточных температур $T \lesssim T_{\rm M}$, но неспособно правильно описать критическое поведение [59]. Проблемы этого подхода в критической области связаны с тем, что в указанном обобщении модели Гейзенберга возбуждения неспинволнового характера представляются как связанные состояния спиновых волн [60] и их рассмотрение весьма затруднительно в рамках $1/N$-разложения. В связи с этим, необходимо развитие подходов, позволяющих описать как область промежуточных температур, так и критическую область. Такие подходы рассматриваются ниже.

1.2 Перенормировка вершины взаимодействия и подрешеточной намагниченности в лестничном приближении

В данном подразделе рассмотрим поправки к ССВТ, определяемые диаграммами второго и более высокого порядка по $1/S$. Указанные поправки можно разделить на собственно-энергетические (приводящие к перенормировке энергии одночастичных возбуждений и возникновению их затухания) и поправки к вершине магнон-магнонного

взаимодействия. Как обсуждалось выше, ССВТ удовлетворительно описывает спектр возбуждений (этот спектр уже перенормирован в соответствии с диаграммами первого порядка, см. рис. 4*а*). Вычисление затухания спиновых волн, возникающего во втором и более высоких порядках теории возмущений, показывает, что оно относительно мало в широкой температурной области [20, 61].

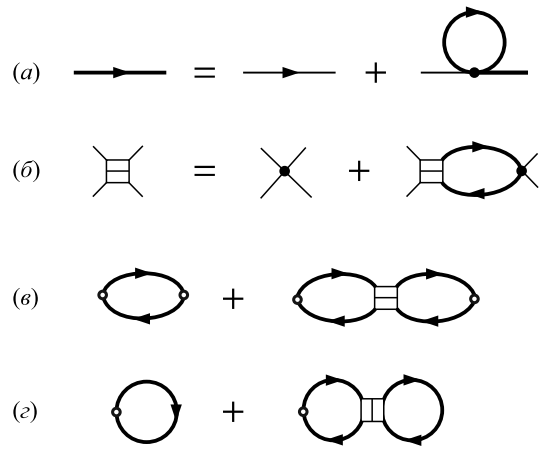


Рис. 4: Диаграммное изображение: (*а*) хартриевских поправок к спектру магнонов, рассматриваемых в самосогласованной спин-волновой теории; (*б*) лестничного уравнения для вершины взаимодействия магнонов; (*в*) поправок к (подрешеточной) восприимчивости; (*г*) поправок к (подрешеточной) намагниченности

Таким образом, вершинные поправки представляются наиболее существенными в двумерных системах. Для их вычисления рассмотрим сначала суммирование лестничных диаграмм для вершины на примере двумерных магнетиков с анизотропией типа «легкая ось». Как следует из РГ рассмотрения следующего подраздела, лестничное приближение дает правильный ответ для ведущей поправки к намагниченности ССВТ, полученной суммированием ведущих и субведущих сингулярных вкладов во всех порядках теории возмущений. Это связано с сокращением нелестничных вкладов в более общем паркетном приближении, см. подробное обсуждение в [62].

Для формулировки лестничного приближения запишем гамильтониан ферромагнетика в виде

$$\mathscr{H} = \sum_{\mathbf{q}} E^{\mathrm{SSWT}}_{\mathbf{q}} b^{\dagger}_{\mathbf{q}} b_{\mathbf{q}} + \frac{1}{4} \sum_{\mathbf{q}_1 \dots \mathbf{q}_4} \phi(\mathbf{q}_1, \mathbf{q}_2; \mathbf{q}_3, \mathbf{q}_4) (b^{\dagger}_{\mathbf{q}_1} b^{\dagger}_{\mathbf{q}_2} b_{\mathbf{q}_3} b_{\mathbf{q}_4})_{1\mathrm{PI}} \delta_{\mathbf{q}_1+\mathbf{q}_2, \mathbf{q}_3+\mathbf{q}_4}, \qquad (44)$$

где

$$\phi(\mathbf{q}_1, \mathbf{q}_2; \mathbf{q}_3, \mathbf{q}_4) = J_{\mathbf{q}_3} + J_{\mathbf{q}_4} - (1+\eta)(J_{\mathbf{q}_1-\mathbf{q}_3} - J_{\mathbf{q}_1-\mathbf{q}_4}) - 4J\varsigma \simeq -2J(\mathbf{q}_1\mathbf{q}_2 + f) \qquad (45)$$

— вершина магнонного взаимодействия,

$$J_{\mathbf{q}} = J[2(\cos q_x + \cos q_y) + \alpha \cos q_z] \qquad (46)$$

— фурье-образ обменного взаимодействия, $f = 2\zeta + 4\eta$, символ 1PI означает, что из четверной формы в (44) исключены все парные свертки, уже учтенные самомогласованной спин-волновой теорией. Интегральное уравнение для перенормированной вершины $\Phi(\mathbf{k}, \mathbf{p}-\mathbf{q}, \mathbf{k}-\mathbf{q}; \mathbf{p})$ в лестничном приближении имеет вид [52]

$$\Phi(\mathbf{k}, \mathbf{p}-\mathbf{q}, \mathbf{k}-\mathbf{q}; \mathbf{p}) = \phi(\mathbf{k}, \mathbf{p}-\mathbf{q}; \mathbf{k}-\mathbf{q}, \mathbf{p}) - \\ - \frac{T}{(JS)^2} \sum_{\mathbf{s}} \frac{\phi(\mathbf{k}, \mathbf{s}-\mathbf{q}; \mathbf{k}-\mathbf{q}, \mathbf{s})}{(s^2+f)[(\mathbf{s}-\mathbf{q})^2+f]} \Phi(\mathbf{s}, \mathbf{p}-\mathbf{q}; \mathbf{s}-\mathbf{q}, \mathbf{p}) \quad (47)$$

(мы сохраняем здесь только вклад членов с нулевой мацубаровской частотой $\omega_n = 0$, приводящих к логарифмически расходящимся вкладам, с одновременным обрезанием интегралов по квазиимпульсам на волновом векторе q_0, определенным в (33)). Результат решения уравнения (47) имеет вид

$$\Phi(\mathbf{k}, \mathbf{p}-\mathbf{q}; \mathbf{k}-\mathbf{q}, \mathbf{p}) = \frac{2J\mathbf{k}(\mathbf{q}-\mathbf{p})}{1 - (T/2\pi JS^2)\ln(q_0/\max(f^{1/2}, q)]} + O(Jf) \simeq \\ \simeq \frac{2J\mathbf{k}(\mathbf{q}-\mathbf{p})}{\bar{S}/S + (Jq^2/2)\chi^{zz}_{\mathbf{q}0}} + O(Jf), \quad (48)$$

где

$$\chi^{zz}_{\mathbf{q}0} = \frac{T}{(JS)^2} \sum_{\mathbf{p}} \frac{1}{(p^2+f)[(\mathbf{p}-\mathbf{q})^2+f]} \simeq \begin{cases} T/[2\pi(JqS)^2]\ln(q^2/f), & q^2 \gg f, \\ T/[4\pi(JS)^2 f], & q^2 \ll f \end{cases} \quad (49)$$

есть продольная восприимчивость в спин-волновой теории. Как следует из результата (48), рассматриваемая вершина магнон-магнонного взаимодействия усиливается флуктуациями, как и в стандартном приближении случайных фаз для зонных магнетиков. Результат, аналогичный (48) с заменами $\bar{S}/S \to \bar{S}/\bar{S}_0$, $J \to |J|\gamma$, $f \to f_{\mathrm{r}}$ может быть также получен для антиферромагнетиков.

Для статической (подрешеточной) неоднородной продольной восприимчивости (со сдвигом $\mathbf{q} \to \mathbf{q} + \mathbf{Q}$ в АФМ случае) получаем с учетом диаграмм рисунка 4*в* результат

$$\chi^{zz}_{\mathbf{q}} = \frac{(\bar{S}/S)\chi^{zz}_{\mathbf{q}0}}{\bar{S}/S + (T/2\pi JS)\ln[\max(f^{1/2}, q)/f^{1/2}]} = \frac{\chi^{zz}_{\mathbf{q}0}}{1 + (|J|\gamma/2\bar{S})q^2\chi^{zz}_{\mathbf{q}0}}. \quad (50)$$

Как следует из результата (50), продольная восприимчивость имеет различную импульсную зависимость на малых и достаточно больших импульсах:

$$\chi^{zz}_{\mathbf{q}} \simeq \begin{cases} \chi^{zz}_{\mathbf{q}0}, & Jq^2\chi^{zz}_{\mathbf{q}0} \ll 2\bar{S}, \\ 2\bar{S}/(Jq^2), & Jq^2\chi^{zz}_{\mathbf{q}0} \gg 2\bar{S}. \end{cases} \quad (51)$$

Первая строка соответствует стандартному спин-волновому результату (49), в то время как вторая описывает вклад неспинволновых степеней свободы: пренебрегая анизотропией при $q^2 \gg f$, находим $\chi^{zz}_{\mathbf{q}} \propto 1/q^2$, что отвечает критическим спиновым флуктуациям и согласуется с результатом сферической модели [11].

Рассмотрим теперь поправки к намагниченности, обусловленные рассмотренными выше продольными возбуждениями. Вычисление поправок к (подрешеточной) намагниченности $\bar{\sigma} \equiv \bar{S}/\bar{S}_0$ (см. диаграммы рис. 4*г*) дает

$$\bar{\sigma} = 1 - \frac{T}{JS^2} \sum_{\mathbf{k}} \frac{1}{k^2 + f} + \frac{T^2}{J^3 S^4} \sum_{\mathbf{kq}} \frac{\Phi(\mathbf{k}, \mathbf{k}-\mathbf{q}; \mathbf{k}-\mathbf{q}, \mathbf{k})}{(k^2+f)^2[(\mathbf{k}-\mathbf{q})^2 + f]}. \tag{52}$$

Интегрирование в (52) приводит к результату

$$\bar{\sigma} = 1 - \frac{t}{2} \left[\ln \frac{q_0^2}{f_{\mathrm{r}}(T)} + 2 \ln \frac{1}{\max(\bar{\sigma}, t)} + \Phi_{\mathrm{a}}(t/\bar{\sigma}) \right] \tag{53}$$

где $t = T/(2\pi JS)$. Функция Φ_{a} учитывает вклад несингулярных членов. Температурная перенормировка $f_{\mathrm{r}}(T) \propto f\bar{\sigma}^2$, определяемая уравнением (23), увеличивает в два раза множитель перед вторым слагаемым в квадратных скобках в промежуточной температурной области.

Как видно из результата (53), флуктуационные поправки к намагниченности уменьшают ее значение. В зависимости от величины температуры возможны три случая:

(а) низкие температуры, $T \ll T_{\mathrm{M}} \sim 2\pi|J|S^2/\ln(q_0^2/f)$. Тогда второе условие в (51) не может быть удовлетворено, и таким образом возбуждения во всей зоне Бриллюэна имеют спин-волновой характер. При этом важен только первый член в квадратных скобках (53) и температурная зависимость намагниченности описывается спин-волновой теорией;

(б) промежуточные температуры $T \sim T_{\mathrm{M}}$, для которых выполнено условие $(\bar{S}/S)/\ln(q_0^2/f) \ll T/2\pi|J|S^2 \ll \bar{S}/S$. Тогда при достаточно малых q имеем $\chi^{zz}_{\mathbf{q}} \simeq \chi^{zz}_{\mathbf{q}0}$, но второе условие в (51) выполнено для достаточно больших q, так что возбуждения на соответствующих волновых векторах являются неспинволновыми (т. е. соответствуют критическим флуктуациям). Температурная зависимость намагниченности $\bar{S}(T)$ существенно модифицируется поправками к спин-волновой теории;

(в) критическая область, $T/2\pi|J|S^2 \gg \bar{S}/S$ $(1 - T/T_{\mathrm{M}} \ll 1)$. В этом режиме первое условие в (51) удовлетворено только для $q^2 \ll f$, тогда как для всех остальных q возбуждения имеют неспинволновой характер. При этом вклады Φ_{a} имеют тот же самый порядок, что и другие члены в квадратных скобках, и температурная зависимость намагниченности должна рассматриваться в рамках более сложных подходов (см. разделы 1.3—1.5).

Для более детального анализа указанных результатов в последующих подразделах рассматривается теоретико-полевой подход к низкоразмерным магнетикам.

1.3 Теоретико-полевое описание квазидвумерных магнетиков с локализованными моментами

Для правильного описания термодинамических свойств в широком интервале температур необходимо суммирование ведущих вкладов в термодинамические величины во всех порядках теории возмущений по магнон-магнонному взаимодействию. Такой учет может быть произведен в рамках нелинейной сигма-модели. Для вывода выражений для производящего функционала используется представление когерентных состояний $|\mathbf{n}_i\rangle = \exp(-i\varphi_i S_i^z)\exp(-i\theta_i S_i^y)|0\rangle$ [68, 69], параметризуемых векторами $\mathbf{n}_i$ единичной длины с полярными координатами (q_i, j_i), определенных для каждого узла решетки i, $|0\rangle$ — собственное состояние оператора S_i^z с максимальной проекцией спина: $S_i^z|0\rangle = S|0\rangle$. Преимущество использования состояний $|\mathbf{n}_i\rangle$ состоит в том, что среднее значение операторов спина по ним имеет простой вид:

$$\langle \mathbf{n}_i | S_i^m | \mathbf{n}_i \rangle = S n_i^m \tag{54}$$

т. е. когерентные состояния являются «квазиклассическими» спиновыми состояниями. Можно показать, что с помощью когерентных состояний (54) производящий функционал может быть записан в виде

$$Z = \int D\mathbf{n} \exp\left\{ \int_0^{1/T} d\tau \left[\mathbf{A}(\mathbf{n}_i)\frac{\partial \mathbf{n}_i}{\partial \tau} - \langle \mathbf{n}|\mathscr{H}|\mathbf{n}\rangle \right] \right\}, \tag{55}$$

где первый член в показателе экспоненты учитывает динамику спинов, связанную с их квантовым характером (так называемая фаза Берри [30]), а второй член описывает взаимодействие спинов; интегрирование в (55) производится по угловым переменным вектора $\mathbf{n}_i$ на каждом узле и для каждого мнимого времени τ, $\mathbf{A}(\mathbf{n})$ — векторный потенциал единичного магнитного монополя, удовлетворяющий соотношению $\nabla \times \mathbf{A}(\mathbf{n}) \cdot \mathbf{n} = 1$.

Среднее по когерентным состояниям гамильтониана (1) может быть легко вычислено с учетом соотношений (54) и приводит к выражению для производящего функционала в виде

$$Z[h] = \int D\mathbf{n}\, D\lambda \exp\left\{ \frac{JS^2}{2} \int_0^{1/T} d\tau \sum_{i,\delta_\parallel,\delta_\perp} \left[\frac{2\mathrm{i}}{JS}\mathbf{A}(\mathbf{n}_i)\frac{\partial \mathbf{n}_i}{\partial \tau} + \mathbf{n}_i\mathbf{n}_{i+\delta_\parallel} + \right.\right.$$
$$\left.\left. + \frac{\alpha}{2}\mathbf{n}_i\mathbf{n}_{i+\delta_\perp} + \eta n_i^z n_{i+\delta_\parallel}^z + \mathrm{sgn}(J)\tilde{\zeta}(n_i^z)^2 + h n_i^z + \mathrm{i}\lambda_i(\mathbf{n}_i^2 - 1) \right] \right\}, \tag{56}$$

где члены в экспоненте, следующие за фазой Берри последовательно отвечают обмену в плоскости, между плоскостями, двухионной и одноионной магнитной анизотропии

и неоднородному внешнему полю. Последний член в экспоненте возникает вследствие ограничения $\mathbf{n}^2 = 1$. Функционал (56) содержит две переменные с размерностью длины:

$$\xi_{J'} = a/\max(\alpha, \tilde{\zeta}, \eta)^{1/2} \gg a \tag{57}$$

и

$$L_\tau = \begin{cases} a\sqrt{JS/T} & (\text{ФМ}), \\ c/T & (\text{АФМ}). \end{cases} \tag{58}$$

На масштабе $\xi_{J'}$ характер флуктуаций изменяется с двумерных гейзенберговского типа на трехмерные гейзенберговские или двумерные изинговские флуктуации в зависимости от того, какой из параметров доминирует в знаменателе (57) — анизотропия или межплоскостной обмен. С другой стороны, на масштабе L_τ тип флуктуаций меняется с квантовых на классические.

Представление производящего функционала (56) позволяет произвести учет магнон-магнонного взаимодействия за пределами спин-волновой теории. Возможным способом учета этого взаимодействия, выходящим за рамки низшего порядка теории возмущений, является ренормгрупповой (РГ) анализ. Этот подход ранее успешно применялся для описания классических и квантовых изотропных магнетиков в пространствах размерности $d = 2$ [47, 63] и $d = 2 + \varepsilon$ [64, 65]. В указанных случаях картина спектра возбуждений слабо отличается от спин-волновой. Так, при $d = 2 + \varepsilon$ поправки к спектру спиновых волн $\delta E_{\mathbf{q}} \sim |J|\varepsilon \ln q$, температура магнитного перехода $T_{\text{M}}/|J|S^2 \sim \varepsilon$ и может быть применена стандартная техника ε-разложения. При этом результаты РГ анализа совпадают с результатами $1/N$-разложения в $\text{SU}(N)/\text{SU}(N-1)$ обобщении модели Гейзенберга [59].

В случае квазидвумерных магнетиков со слабым межплоскостным обменом и (или) слабой анизотропией типа «легкая ось» температура магнитного перехода также мала в сравнении с $|J|S^2$, однако спектр возбуждений может существенно отличаться от спин-волнового. Вне критической области, однако, спиновые флуктуации носят двумерный изотропный характер (по этой причине этот режим далее именуется «*двумерный гейзенберговский режим*»); в этом режиме спектр спиновых возбуждений сохраняет спин-волновой характер и для описания магнитных свойств в этом режиме может быть применен метод РГ. Лишь в узкой критической области вблизи T_{M} происходит переход от вышеупомянутого двумерного гейзенберговского режима к трехмерному гейзенберговскому (или двумерному изинговскому) *критическому* режиму, в котором картина спиновых волн становится полностью неадекватной. Таким образом, эта область должна рассматриваться с учетом существенно неспинволновых возбуждений.

Для применения теоретико-полевых методов производящий функционал (56) может быть далее преобразован к виду, удобному для конкретных вычислений; при этом результат определяется температурным режимом, в котором производятся вычисления.

В классическом режиме $T \gg JS$ имеем $L_\tau \ll a$ и динамикой поля $\mathbf{n}$ (т. е. его зависимостью от мнимого времени) можно пренебречь, что приводит к функционалу

$$Z_{\rm cl}[h] = \int D\mathbf{n}\, D\lambda \exp\left\{ \frac{\rho_{\rm s}^0}{2T} \sum_i \Big[\mathbf{n}_i \mathbf{n}_{i+\delta_\parallel} + \frac{\alpha}{2} \mathbf{n}_i \mathbf{n}_{i+\delta_\perp} + \right.$$
$$\left. + \eta n_i^z n_{i+\delta_\parallel}^z + \tilde{\zeta}(n_i^z)^2 + h n_i^z + i\lambda(\mathbf{n}_i^2 - 1) \Big] \right\} \quad (59)$$

с «затравочной» спиновой жесткостью $\rho_{\rm s}^0 = |J| S^2$. Чтобы получить (59) в антиферромагнитном случае, необходимо произвести замену $\mathbf{n}_i \to -\mathbf{n}_i$, $\lambda_i \to -\lambda_i$ для одной из двух подрешеток. Таким образом, в классическом случае результаты для Z идентичны для ферро- и антиферромагнетиков. В континуальном пределе действие (59) совпадает с действием для классической нелинейной сигма-модели [69]. Однако, если интересоваться термодинамикой в широком интервале температур (не только в критической области), континуальный предел не может быть использован, т. к. при этом вклад в термодинамические свойства дают не только длинноволновые, но и коротковолновые возбуждения.

В квантовом случае в силу условия $\xi_{J'} \gg a$ можно перейти к континуальному пределу для каждого слоя. Для ферромагнетика удобно использовать представление

$$\mathbf{A}(\mathbf{n}) = \frac{\mathbf{z} \times \mathbf{n}}{1 + (\mathbf{z}\mathbf{n})} \quad (60)$$

($\mathbf{z}$ — единичный вектор вдоль оси z) и ввести двухкомпонентное векторное поле $\pi = \mathbf{n} - (\mathbf{n}\mathbf{z})\mathbf{z}$ описывающее флуктуации параметра порядка. Для квантового антиферромагнетика необходимо использовать процедуру Халдейна [30] (см. также [69]), чтобы проинтегрировать по «быстрым» компонентам поля $\mathbf{n}$. При этом параметр $\xi_{J'} \gg a$ используется для отделения «быстрых» и «медленных» переменных вместо обычно используемой корреляционной длины, равной бесконечности ниже точки перехода. С помощью указанной процедуры приходим к производящему функционалу квантовой нелинейной сигма-модели

$$Z_{\rm AF}[h] = \int D\sigma\, D\lambda \exp\left\{ -\frac{\rho_{\rm s}^0}{2} \int_0^{1/T} d\tau \int d^2\mathbf{r} \sum_{i_z} \left[\frac{1}{c_0^2} (\partial_\tau \sigma_{i_z})^2 + \right.\right.$$
$$\left.\left. + (\nabla \sigma_{i_z})^2 + \frac{\alpha}{2} (\sigma_{i_z+1} - \sigma_{i_z})^2 - f(\sigma_{i_z}^z)^2 + h\sigma_{i_z}^z + i\lambda(\sigma_{i_z}^2 - 1) \right] \right\}, \quad (61)$$

где σ_{i_z} — трехкомпонентное поле единичной длины и $c_0 = \sqrt{8} JS$ — затравочная скорость спиновых волн. Модель (61) обладает O(3)/O(2) группой симметрии. В отличие от случая квантового ферромагнетика, эта модель может быть обобщена на

$\mathrm{O}(N)/\mathrm{O}(N-1)$ симметрию с произвольным N путем введения N-компонентного векторного поля $\sigma_i = \{\sigma_1 \dots \sigma_N\}$ и замены σ^z на σ_N.

1.4 Описание различных температурных режимов в рамках ренормгруппового подхода и $1/N$-разложения

В двумерном гейзенберговском режиме взаимодействие спиновых волн является существенным, но сами спин-волновые возбуждения являются хорошо определенными. Наличие этого режима является специфической особенностью квазидвумерных систем с малыми значениями межплоскостного обмена и анизотропии. Как можно видеть уже из результатов спин-волновых подходов (разделы 1.1 и 1.2, в этом режиме имеются логарифмические расходимости в (подрешеточной) намагниченности, определяемые параметрами $\ln(\xi_{J'}/L_\tau)$ в квантовом и $\ln(\xi_{J'}/a)$ в классическом случае. Для суммирования этих расходимостей, представляющих влияние динамического взаимодействия спиновых волн на намагниченность и температуры магнитного перехода, удобно использовать РГ подход [47, 63—66].

Для применения РГ подхода вводится формальный параметр инфракрасного обрезания μ, так что указанные расходимости заменяются на $\ln[1/(\mu L_\tau)]$. Далее рассматриваются температурно-зависящие перенормировочные параметры $\tilde{Z}_i$, введенные согласно теоретико-полевой формулировке РГ [64, 70]

$$t = t_{\mathrm{R}} Z_1, \quad \pi = \pi_{\mathrm{R}} Z, \quad h = h_{\mathrm{R}} Z_1/\sqrt{Z},$$

$$f = f_{\mathrm{R}} Z_2, \quad \alpha = \alpha_{\mathrm{R}} Z_3, \tag{62}$$

являющиеся функциями μ и определенными из условия отсутствия логарифмических расходимостей в перенормированной теории; индекс R соответствует квантово- и температурно-перенормированным величинам. Аналогично классической нелинейной сигма-модели [64], введение пяти перенормировочных параметров для пяти независимых параметров модели оказывается достаточным для того, чтобы устранить все имеющиеся расходимости (см. также [70]).

Бесконечно малое изменение μ генерирует преобразование ренормгруппы. В двухпетлевом приближении результат для температуры и намагниченности эффективной модели имеет вид

$$\mu \frac{dt_{\mathrm{r}}}{d\mu} = -(N-2)t_{\mathrm{r}}^2 - (N-2)t_{\mathrm{r}}^3 + O(t_{\mathrm{r}}^4), \tag{63}$$

$$\mu \frac{d \ln Z}{d\mu} = (N-1)t_{\mathrm{r}} + O(t_{\mathrm{r}}^3). \tag{64}$$

Перенормировка параметров межплоскостного обмена и анизотропии описывается в однопетлевом приближении (достаточном для рассматриваемого ниже двухпетлевого

анализа) функциями

$$\mu\frac{d\ln Z_2}{d\mu} = -2t_{\rm r} + O(t_{\rm r}^2), \tag{65}$$

$$\mu\frac{d\ln Z_3}{d\mu} = -t_{\rm r} + O(t_{\rm r}^2). \tag{66}$$

Уравнения (63)—(66) определяют эволюцию параметров модели при РГ преобразовании.

Для относительной намагниченности $\bar\sigma \equiv \bar S/S$ получаем уравнение [66]

$$\bar\sigma^{1/\beta_2} = 1 - \frac{t}{2}\left[\ln\frac{2}{u\Delta(f_t,\alpha_t)} + 2\ln(1/\bar\sigma^{1/\beta_2}) + 2(1-\bar\sigma^{1/\beta_2}) + O(t/\bar\sigma^{1/\beta_2})\right]. \tag{67}$$

где

$$\Delta(f,\alpha) = f + \alpha + \sqrt{f^2 + 2\alpha f}, \tag{68}$$

f_t и α_t — температурно-зависящие параметры межплоскостного обмена и анизотропии:

$$f_t/f_{\rm r} = \bar\sigma_{\rm r}^{4/(N-1)}\left[1 + O(t_{\rm r}/\bar\sigma_{\rm r}^{1/\beta_2})\right], \tag{69}$$

$$\alpha_t/\alpha_{\rm r} = \bar\sigma_{\rm r}^{2/(N-1)}\left[1 + O(t_{\rm r}/\bar\sigma_{\rm r}^{1/\beta_2})\right]. \tag{70}$$

Величина

$$\beta_2 = \frac{N-1}{2(N-2)} \tag{71}$$

есть «критический индекс» подрешеточной намагниченности в рассматриваемом температурном интервале. Она совпадает с пределом критического индекса $\beta_{2+\varepsilon}$ в пространстве размерности $d = 2+\varepsilon$ [64] при $\varepsilon \to 0$; в физически важном случае $N = 3$ имеем $\beta_2 = 1$. Ведущий логарифмический член в квадратных скобках (67) соответствует результату ССВТ (31), в то время как другие два члена описывают поправки к этой теории, при этом наиболее важный субведущий логарифмический вклад совпадает с результатами лестничного приближения, рассмотренного в подразделе 1.2. Результаты (69)—(71) при $N = 3$ совпадают с результатами ССВТ (23) и (24).

Аналогичное рассмотрение может быть произведено для квантовых антиферромагнетиков. В этом случае подрешеточную намагниченность и температуру фазового перехода удобно выражать через наблюдаемые параметры основного состояния: намагниченность $\bar S_0$, спиновую жесткость $\rho_{\rm s}$, скорость спиновых волн c, межплоскостной обмен $\alpha_{\rm r}$ и анизотропию $f_{\rm r} = (\Delta/\rho_{\rm s})\bar S_0$, где Δ — щель в энергетическом спектре. Поэтому на первом шаге ренормгруппового преобразования удобно ввести параметры квантовой перенормировки $\tilde Z_i$ согласно соотношениям

$$\bar S_0 = \tilde Z S, \quad g_0 = g\tilde Z_1, \quad c_0 = c\tilde Z_{\rm c},$$

$$f = f_{\rm r}\tilde Z_2, \quad \alpha = \alpha_{\rm r}\tilde Z_3,$$

связывающим наблюдаемые параметры основного состояния g, c, $\alpha_{\rm r}$, $f_{\rm r}$ с (затравочными) параметрами исходной модели g_0, c_0, α, f, где $g = \rho_{\rm s}/c$ и $g_0 = \rho_{\rm s}^0/c_0$ — безразмерные перенормированная и затравочная константа связи модели (61).

В силу неуниверсальности перенормировочных констант $\tilde{Z}_i$, т. е. их зависимости от деталей структуры решетки, они могут быть определены лишь из рассмотрения исходной решеточной (неконтинуальной) версии производящего функционала (56). Поскольку указанные параметры не содержат логарифмических расходимостей, они могут быть вычислены в спин-волновой теории, являющейся фактически разложением в ряд по g ($g \sim 1/S$ для больших S). Для антиферромагнетиков с квадратной решеткой результаты раздела 1.2 приводят к выражениям

$$\tilde{Z} = 1/\tilde{Z}_1 = \tilde{Z}_2 = \tilde{Z}_3^{1/2} = 1 - 0.197/S, \tag{72}$$

$$\tilde{Z}_{\rm c} = 1 + 0.079/S$$

с точностью до членов первого порядка по $1/S$ [16, 39—46]. Для учета квантовых перенормировок удобно иметь эквивалент результатов (72), определенный в рамках континуальной модели (61). В первом порядке по g находим

$$\tilde{Z} = 1 - (N-1)\frac{g\Lambda}{4\pi} + O(g^2), \tag{73}$$

$$\tilde{Z}_1 = 1 - (N-2)\frac{g\Lambda}{4\pi} + O(g^2), \quad \tilde{Z}_{\rm c} = 1 + O(g^2),$$

$$\tilde{Z}_2 = 1 + \frac{g\Lambda}{2\pi} + O(g^2), \quad \tilde{Z}_3 = 1 + \frac{3g\Lambda}{4\pi} + O(g^2),$$

где Λ — параметр ультрафиолетового обрезания, необходимый для регуляризации расходимостей, возникающих при вычислении параметров основного состояния. После выполнения квантовой перенормировки (73) теория, как мы увидим ниже, становится полностью универсальной, так что термодинамические свойства не зависят от параметра обрезки Λ.

Второй шаг РГ преобразования состоит в суммировании логарифмических расходимостей $\ln(\xi_{J'}/L_\tau)$ и аналогичен ферромагнитному случаю. Относительная подрешеточная намагниченность $\bar{\sigma}_{\rm r} = \bar{\sigma}/\bar{\sigma}_0$ квантового квазидвумерного антиферромагнетика может быть определена из (63)—(66) в виде [66]:

$$\bar{\sigma}_{\rm r}^{1/\beta_2} = 1 - \left[\frac{t_{\rm r}}{2}(N-2)\ln\frac{2}{u_{\rm r}^2\Delta(f_t,\alpha_t)} + \frac{2}{\beta_2}\ln(1/\bar{\sigma}_{\rm r}) + 2(1-\bar{\sigma}_{\rm r}^{1/\beta_2}) + O(t_{\rm r}/\bar{\sigma}_{\rm r}^{1/\beta_2})\right], \tag{74}$$

при этом результаты для температурной перенормировки параметров анизотропии и межплоскостного обмена имеют тот же вид (69), (70), что и для ферромагнетика.

Уравнение для намагниченности в двухпетлевом РГ подходе для классического магнетика может быть получено таким же образом, как и для квантового случая. Имеем [66]

$$\bar{\sigma}^{1/\beta_2} = 1 - \frac{t_{\rm L}}{2}\left[(N-2)\ln\frac{64}{\Delta(f_t,\alpha_t)} + \frac{2}{\beta_2}\ln(1/\bar{\sigma}) + 2(1-\bar{\sigma}^{1/\beta_2}) + O(t_{\rm L}/\bar{\sigma}^{1/\beta_2})\right], \qquad (75)$$

где $t_{\rm L} = tZ_{\rm L1}^{-1}$, $Z_{\rm L1} = 1 - \pi t/2 + O(t^2)$.

Таким образом, РГ подход достаточен для вычисления намагниченности при температурах, не слишком близких к температуре магнитного перехода, при которых спин-волновые возбуждения играют решающую роль, а также позволяет вычислить температуры Кюри (Нееля) с точностью до некоторый постоянной, являющейся универсальной в квантовом случае. Общие скейлинговые результаты для температур Кюри и Нееля могут быть также получены экстраполяцией результатов РГ подхода в критическую область, что для квантовых магнетиков приводит к результатам [28]

$$t_{\rm C} = 2\left[\ln\frac{2}{u\Delta(f_{\rm c},\alpha_{\rm c})} + 2\ln(2/t_{\rm C}) + \Phi_{\rm F}(\alpha/f)\right]^{-1}, \qquad (76)$$

$$t_{\rm N} = 2\left[(N-2)\ln\frac{2}{u_{\rm r}^2\Delta(f_{\rm c},\alpha_{\rm c})} + 2\ln(2/t_{\rm N}) + \Phi_{\rm AF}(\alpha_{\rm r}/f_{\rm r})\right]^{-1}, \qquad (77)$$

где $\Phi_{\rm F,AF}(\alpha_{\rm r}/f_{\rm r}) \sim 1$ — некоторые функции. Второй член в знаменателе (76), (77) представляющий собой поправку к ССВТ, имеет порядок $\ln\ln(2T_{\rm N}^2/\alpha)$ и приводит к существенному понижению температуры Нееля по сравнению с ее значением в ССВТ. Функция Φ определяется неспинволновыми возбуждениями и не может быть вычислена в рамках РГ подхода. В квазидвумерном изотропном случае Φ может быть вычислена с помощью $1/N$-разложения (см. ниже); более общий случай требует численного анализа (например, квантовым методом Монте-Карло).

Описание температурной зависимости (подрешеточной) намагниченности в критической области, а также более строгое определение температур магнитного фазового перехода, требует выхода за рамки спин-волновой картины спектра магнитных возбуждений, в частности явного учета вклада продольных спиновых флуктуаций (неявно учитываемых также рассмотренными лестничным приближением и РГ анализом).

Учет продольных спиновых флуктуаций, необходимых для правильного описания критической области и полного вычисления температуры Нееля, возможен в рамках $1/N$-разложения [27, 28], учитывающего все компоненты спина на равных основаниях и накладывающее условие сохранения спина на узле. Благодаря этому, указанный подход позволяет лучше описать область температур, близкую к температуре магнитного фазового перехода и, в частности, критическую область, хотя он не воспроизводит полностью низкотемпературное поведение намагниченности. Для температуры Нееля

$1/N$-разложение воспроизводит РГ результат (77), но при этом позволяет вычислить постоянную $\Phi_{\mathrm{AF}}(0)$, которая не может быть определена в рамках РГ подхода.

Построение $1/N$-разложения для квантового квазидвумерного антиферромагнетика производится аналогично двумерному случаю [27], при этом используется обобщение модели Гейзенберга на модель с $\mathrm{O}(N)/\mathrm{O}(N-1)$ симметрией (61). При $N=\infty$ указанная модель эквивалентна сферической модели [67], однако при конечных значениях N она правильно учитывает поправки связанные со спин-спиновым взаимодействием, поскольку не основана на спин-волновой картине спектра. Это обстоятельство приводит к важным преимуществам при температурах, сравнимых с температурой фазового перехода, но ведет к некоторым трудностям при описании низких и промежуточных температур, где возбуждения имеют чисто спин-волновой характер. Таким образом, подходы РГ и $1/N$-разложения в $\mathrm{O}(N)/\mathrm{O}(N-1)$ модели имеют преимущества в различных температурных областях и взаимно дополняют друг друга.

Рассмотрим вначале изотропный случай. В связи с наличием дальнего порядка ниже температуры Нееля, произведем сдвиг поля $\sigma=\tilde{\sigma}+\bar{\sigma}$ где $\bar{\sigma}$ — относительная подрешеточная намагниченность $\bar{S}/S$. После интегрирования по $\tilde{\sigma}$ производящий функционал (61) принимает вид

$$Z[h]=\int D\lambda \exp(NS_{\mathrm{eff}}[\lambda,h]), \tag{78}$$

$$S_{\mathrm{eff}}[\lambda,h]=\frac{1}{2}\ln\det\hat{G}_0+\frac{1}{2g}(1-\bar{\sigma}^2)\,\mathrm{Sp}(i\lambda)+\frac{1}{2g}\,\mathrm{Sp}\left[(i\lambda\bar{\sigma}-h/\rho_{\mathrm{s}}^0)\hat{G}_0(i\lambda\bar{\sigma}-h/\rho_{\mathrm{s}}^0)\right], \tag{79}$$

где

$$\hat{G}_0=\left[\partial_\tau^2/c_0^2+\nabla^2+\alpha\Delta_z\right]^{-1}, \tag{80}$$

$$\Delta_z\sigma_{i_z}(\mathbf{r},\tau)=\sigma_{i_z+1}(\mathbf{r},\tau)-\sigma_{i_z}(\mathbf{r},\tau).$$

Поскольку N входит в действие (79) лишь как множитель в показателе экспоненты, предел $N\to\infty$ соответствует приближению седловой точки функционала $S_{\mathrm{eff}}[\lambda,h]$, в котором пренебрегается флуктуациями поля l. Этот предел совпадает с так называемой сферической моделью [67], пренебрегающей связью различных спиновых компонент. При этом физическое условие $\mathbf{S}_i^2=S(S+1)$ заменяется условием на среднее по узлам значение:

$$\sum_i \mathbf{S}_i^2=NS(S+1). \tag{81}$$

Такое приближение приводит к резкому упрощению модели, позволяя решить ее точно. Дальнейшие поправки, вычисляемые путем разложения в окрестности седловой точки, дают последовательное улучшение приближения (81) по параметру $1/N$.

При $T<T_{\mathrm{N}}$ седловая точка имеет координаты $i\lambda=0$ и $\bar{\sigma}^2\neq 0$. Для определенности далее полагаем, что подрешеточная намагниченность направлена в N-ом направлении, т. е. $\bar{\sigma}^m=\bar{\sigma}\delta_{mN}$. Тогда G^{NN} соответствует продольной функции Грина G_{l}, в то время

как другие диагональные компоненты — поперечной функции Грина G_t. Условие (81) в указанных обозначениях принимает вид

$$1-\bar{\sigma}^2=\frac{T}{\rho_{\rm s}^0}\sum_{\omega_n}\sum_m\int\frac{d^2\mathbf{k}}{(2\pi)^2}\int\frac{dk_z}{2\pi}G^{mm}(k,k_z,\omega_n), \tag{82}$$

где

$$G^{mn}(\mathbf{q},q_z,\omega_n)=\rho_{\rm s}^0\int d\tau\,\langle T[\tilde{\sigma}^m_{\mathbf{q},q_z}(\tau)\tilde{\sigma}^n_{-\mathbf{q},-q_z}(0)]\rangle.$$

В пределе $N\to\infty$ имеем для спиновой функции Грина

$$G_0(k,k_z,\omega_n)=\left[\omega_n^2+k^2+\alpha(1-\cos k_z)\right]^{-1}. \tag{83}$$

Температура Нееля, определенная из (82), равна

$$T_{\rm N}^0=\frac{4\pi\rho_{\rm s}^{N=\infty}}{N\ln(2T_{\rm N}^2/\alpha c^2)}, \tag{84}$$

где $\rho_{\rm s}^{N=\infty}=N(1/g-1/g_{\rm c})$ — жесткость спиновых волн в нулевом порядке по $1/N$, $g_{\rm c}=2\pi^2/\Lambda$ — формальный параметр теории. Значение (84) в $N/(N-2)$ раз ниже результата ССВТ (34) и РГ подхода (77). Это отличие обусловлено недостатком приближения сферической модели, рассматривающей различные спиновые компоненты независимо друг от друга.

В первом порядке по $1/N$ учитываются наинизшие поправки к условию (81), обусловленные однократным обменом возбуждением поля l, учитывающем связь между различными компонентами спина на узле. Уравнение для намагниченности при $T\gg\alpha^{1/2}$ и $\ln(2T_{\rm N}^2/\alpha c^2)\gg 1$ в первом порядке по $1/N$ имеет вид

$$1-\frac{NT}{4\pi\rho_{\rm s}}\left[\left(1-\frac{2}{N}\right)\ln\frac{2T^2}{\alpha_{\rm r}}+\frac{3}{N}\ln\frac{4\pi\rho_{\rm s}}{NTx_{\bar{\sigma}}}-\frac{2}{N}\frac{\ln(2T^2/\alpha_{\rm r})}{\ln(2T^2/\alpha_{\rm r})+x_{\bar{\sigma}}}-I_1(x_{\bar{\sigma}})\right]= \\ =\frac{\bar{\sigma}^2}{\bar{\sigma}_0^2}\left[1+\frac{1}{N}\ln\frac{4\pi\rho_{\rm s}}{NTx_{\bar{\sigma}}}-I_2(x_{\bar{\sigma}})\right], \tag{85}$$

где $I_{1,2}(x_{\bar{\sigma}})$ — некоторые функции (см. [28]), $\bar{\sigma}_0=\bar{\sigma}(T=0)=\bar{S}_0/S$ и $\rho_{\rm s}$ — подрешеточная намагниченность и спиновая жесткость основного состояния, в нелинейной сигма-модели квантового двумерного антиферромагнетика [27]. Как и в ренормгрупповом подходе, намагниченность подрешетки, выраженная в терминах квантовоперенормированнных величин $\rho_{\rm s}$, $\bar{\sigma}_0$ и α, не зависит от параметра обрезания Λ, т. е. является универсальной величиной.

В области температур

$$NT/4\pi\rho_{\rm s}\ll\bar{\sigma}^2/\bar{\sigma}_0^2, \tag{86}$$

не слишком близких к точке магнитного перехода $x_{\bar\sigma} \gg 1$, так что функции $I_1(x_{\bar\sigma})$ и $I_2(x_{\bar\sigma})$ порядка $1/x_{\bar\sigma}$, т. е. малы по сравнению с остальными вкладами. Уравнение для намагниченности при температурах, определяемых условием (86), имеет вид

$$(\bar\sigma/\bar\sigma_0)^{1/\beta_2}[1 - I_2(x_{\bar\sigma})] = \\ = 1 - \frac{NT}{4\pi\rho_\mathrm{s}}\left[\left(1 - \frac{2}{N}\right)\ln\frac{2T^2}{\alpha_\mathrm{r}} + \frac{3}{N}\ln\frac{\bar\sigma_0^2}{\bar\sigma^2} - \frac{2}{N}\frac{\ln(2T^2/\alpha_\mathrm{r})}{\ln(2T^2/\alpha_\mathrm{r}) + x_{\bar\sigma}} - I_1(x_{\bar\sigma})\right], \quad (87)$$

где

$$x_{\bar\sigma} = \frac{4\pi\rho_\mathrm{s}}{(N-2)T}\frac{\bar\sigma^2}{\bar\sigma_0^2}. \quad (88)$$

Результат (87) имеет вид, сходный с результатом ренормгруппы (74), в то же время отличаясь от него коэффициентом при субведущем члене $\ln(\bar\sigma_0/\bar\sigma)$ ($6/N$ вместо $3/b_2$). Это отличие связано с тем, что $1/N$-разложение не способно вполне корректно описать двумерный гейзенберговский режим. Указанное различие проявляется, однако, лишь в членах в намагниченности порядка $1/N^2$, лежащих за пределами точности первого порядка по $1/N$ и не приводит к существенному отклонению результатов $1/N$-разложения от РГ результатов в области низких и промежуточных температур (см. обсуждение экспериментальных результатов в разделе 1.5). В то же время, давая качественно правильное описание двумерного режима, уравнение (87) позволяет правильно описать и подрешеточную намагниченность в режиме, переходном к критическому.

Для исследования критического режима рассмотрим температуры, близкие к T_N, так что $\bar\sigma$ достаточно мало, чтобы удовлетворить условию

$$\bar\sigma^2/\bar\sigma_0^2 \ll (N-2)T/4\pi\rho_\mathrm{s}, \quad (89)$$

при котором $x_{\bar\sigma} \ll 1$. После разложения (87) вблизи $T = T_\mathrm{N}$, $x_{\bar\sigma} = 0$, имеем

$$1 - \frac{T}{T_\mathrm{N}} = \frac{\bar\sigma^2}{\bar\sigma_0^2}\left[1 + \frac{1}{N}\ln\frac{4\pi\rho_\mathrm{s}}{(N-2)T_\mathrm{N}} + \frac{8}{\pi^2 N}\ln x_{\bar\sigma} - A_0\right], \quad (90)$$

где $A_0 = 2.8906/N$. Преобразуя логарифмические члены в степени, находим результат для подрешеточной намагниченности в критической области,

$$\frac{\bar\sigma}{\bar\sigma_0} = \left[\frac{4\pi\rho_\mathrm{s}}{(N-2)T_\mathrm{N}}\right]^{(\beta_3/\beta_2 - 1)/2}\left[\frac{1}{1 - A_0}\left(1 - \frac{T}{T_\mathrm{N}}\right)\right]^{\beta_3}, \quad (91)$$

где

$$\beta_3 = \frac{1}{2}\left(1 - \frac{8}{\pi^2 N}\right) \quad (92)$$

— критический индекс намагниченности. При $N = 3$ имеем $\beta_3 \simeq 0.36$, что совпадает с результатом $1/N$-разложения в ϕ^4-модели [71] при $d = 3$, в согласии с гипотезой

универсальности. Уравнение для температуры Нееля $T_{\rm N}$ имеет вид

$$T_{\rm N} = 4\pi\rho_{\rm s}\left[(N-2)\ln\frac{2T_{\rm N}^2}{\alpha_{\rm r}} + 3\ln\frac{4\pi\rho_{\rm s}}{(N-2)T_{\rm N}} - 0.0660\right]^{-1}. \tag{93}$$

Исследование спектра магнитных возбуждений в точке магнитного фазового перехода, определяющегося собственно-энергетической частью $\Sigma(k, k_z, 0)$ при $T = T_{\rm N}$, позволяет определить температурно-перенормированный параметр межплоскостной анизотропии

$$\alpha_{\rm c} = \alpha_{\rm r}\left(1 + \frac{1.0686}{N}\right)\left[\frac{(N-2)T_{\rm N}}{4\pi\rho_{\rm s}}\right]^{1/(N-2)}. \tag{94}$$

Так же как в ССВТ (см. раздел 1.2 перенормированное значение параметра межплоскостного обмена в $T_{\rm N}$ ниже, чем его низкотемпературное значение, но конкретное выражение при $N = 3$ отличается от результата ССВТ численным множителем, примерно равным 1.3. Критический индекс для асимптотики корреляционной функции в точке перехода определяется выражением

$$\eta = 8/(3\pi^2 N) \tag{95}$$

При $N = 3$ имеем $\eta \simeq 0.09$. Значения остальных индексов могут быть определены из (92) и (95) с помощью скэйлинговых соотношений.

1.5 Теоретическое описание экспериментальных данных намагниченности и температур Нееля слоистых систем

Суммируем результаты в практически важном случае $N = 3$. В спин-волновой и двумерной областях, т. е. при

$$\bar{\sigma}_{\rm r} \gg \frac{T}{4\pi\rho_{\rm s}}, \quad \Gamma \gg \Delta \tag{96}$$

результат РГ для относительной (подрешеточной) намагниченности имеет вид

$$\bar{\sigma}_{\rm r} = 1 - \frac{T}{4\pi\rho_{\rm s}}\left[\ln\frac{2\Gamma(T)}{\Delta(f_t, \alpha_t)} + 2\ln(1/\bar{\sigma}_{\rm r}) + 2(1-\bar{\sigma}_{\rm r})\right], \tag{97}$$

где функция $\Delta(f, \alpha)$ определена в (68), температурно-перенормированные значения межплоскостного обмена и параметра анизотропии

$$\frac{f_t}{f_{\rm r}} = \left(\frac{\alpha_t}{\alpha_{\rm r}}\right)^2 = \bar{\sigma}_{\rm r}^2 \tag{98}$$

и величины $\Gamma(T), \bar{\sigma}_{\rm r}, f_{\rm r}, \alpha_{\rm r}, \rho_{\rm s}$ определены в таблице 1. Уравнение для $T_{\rm M}$ имеет вид

$$T_{\rm M} = 4\pi\rho_{\rm s}\left[\ln\frac{2\Gamma(T_{\rm M})}{\Delta(f_{\rm c},\alpha_{\rm c})} + 2\ln\frac{4\pi\rho_{\rm s}}{T_{\rm M}} + \Phi(f/\alpha)\right]^{-1}, \tag{99}$$

где $\Phi(x)$ — некоторая (универсальная в квантовом случае) функция порядка единицы, $f_{\rm c}$ и $\alpha_{\rm c}$ — параметры межплоскостного обмена и анизотропии при $T = T_{\rm M}$, причем

$$\frac{f_{\rm c}}{f_{\rm r}} = \left(\frac{\alpha_{\rm c}}{\alpha_{\rm r}}\right)^2 = \left(\frac{T_{\rm M}}{4\pi\rho_{\rm s}}\right)^2. \tag{100}$$

Так как $T_{\rm M}/4\pi\rho_{\rm s} \sim 1/\ln(1/\Delta) \ll 1$, температурные перенормировки важны для правильного описания экспериментальных данных. В частности, параметры межплоскостного обмена и анизотропии, измеренные при различных температурах, могут значительно отличаться.

При $\alpha = 0$ имеем

$$\bar{\sigma}_{\rm r} = 1 - \frac{T}{4\pi\rho_{\rm s}}\left[\ln\frac{\Gamma(T)}{f_{\rm r}} + 4\ln(1/\bar{\sigma}_{\rm r}) + 2(1-\bar{\sigma}_{\rm r})\right], \tag{101}$$

$$T_{\rm M} = 4\pi\rho_{\rm s}\left[\ln\frac{\Gamma(T_{\rm M})}{f_{\rm r}} + 4\ln\frac{4\pi\rho_{\rm s}}{T_{\rm M}} + \Phi(0)\right]. \tag{102}$$

При $f = 0$

$$\bar{\sigma}_{\rm r} = 1 - \frac{T}{4\pi\rho_{\rm s}}\left[\ln\frac{2\Gamma(T)}{\alpha_{\rm r}} + 3\ln(1/\bar{\sigma}_{\rm r}) + 2(1-\bar{\sigma}_{\rm r})\right], \tag{103}$$

$$T_{\rm M} = 4\pi\rho_{\rm s}\left[\ln\frac{2\Gamma(T_{\rm M})}{\alpha_{\rm r}} + 3\ln\frac{4\pi\rho_{\rm s}}{T_{\rm M}} + \Phi(\infty)\right]. \tag{104}$$

Результаты ССВТ (31)—(39) отличаются от соответствующих ренормгрупповых результатов (101)—(104) заменой $4(3) \to 2(1)$ для коэффициента во втором члене в квадратных скобках соответственно в анизотропном двумерном (изотропном квазидвумерном) случаях. Таким образом, роль поправок к ССВТ более важна в изотропном квазидвумерном магнетике, чем в двумерном анизотропном.

Таблица 1: Параметры уравнений для подрешеточной намагниченности (97) и температуры магнитного перехода (99) для различных случаев, $Z_{\rm L1} = Z_{\rm L2} = Z_{\rm L3} = 1 - T/8\pi\rho_{\rm s}^0$

	$\Gamma(T)$	$\bar{\sigma}_{\rm r}$	$\rho_{\rm s}$	$f_{\rm r}$	$\alpha_{\rm r}$
квантовый АФМ	T^2/c^2	$\bar{S}/\bar{S}_0$	$\gamma S\bar{S}_0$	$f\bar{S}_0^2/S^2$	$\alpha\bar{S}_0/S$
квантовый ФМ	T/JS	$\bar{S}/S$	$\rho_{\rm s}^0$	f	α
классический ФМ, АФМ	32	$\bar{S}/S$	$\rho_{\rm s}^0 Z_{\rm L1}$	$fZ_{\rm L2}^{-1}$	$\alpha Z_{\rm L3}^{-1}$

Результат $1/N$-разложения в O(N) модели вне критической области, точнее при

$$\bar{\sigma}_{\rm r}^2 > \frac{T}{4\pi\rho_{\rm s}}, \quad \Gamma \gg \Delta \tag{105}$$

в первом порядке по $1/N$ имеет вид

$$[1 - I_2(x_{\bar{\sigma}})]\bar{\sigma}_{\rm r} = 1 - \frac{T}{4\pi\rho_{\rm s}}\left[\ln\frac{2\Gamma(T)}{\Delta(f_{\rm r},\alpha_{\rm r})} + 2B_2\ln(1/\bar{\sigma}_{\rm r}) + 2(1-\bar{\sigma}_{\rm r}^2) + I_1(x_{\bar{\sigma}})\right], \tag{106}$$

где $x_{\bar{\sigma}} = 4\pi\rho_{\rm s}\bar{\sigma}_{\rm r}^2/T$, $B_2 = 3 + f_{\rm r}/\sqrt{f_{\rm r}^2 + 2\alpha_{\rm r}f_{\rm r}}$, Δ определено в (68), $I_{1,2}(x)$ — некоторые функции с асимптотикой $1/x$ при больших x, другие величины приведены в таблице 1. В частных случаях $\alpha = 0$ и $f = 0$ коэффициент при втором члене в квадратных скобках в (106) вдвое больше чем для РГ результатов (101), (103). В спин-волновой и двумерной температурных областях это различие является недостатком приближения первого порядка по $1/N$. В то же время $1/N$-разложение обеспечивает более правильное описание температурной области, переходной к критическому поведению, и критической области. Из-за различия условий на переходную область (96) и (105) уравнения для $T_{\rm M}$ имеют вид, одинаковый в обоих подходах. В изотропном случае ($f = 0$) результат $1/N$-разложения для подрешеточной намагниченности в критической области

$$\bar{\sigma}_{\rm r} = \left(\frac{4\pi\rho_{\rm s}}{T_{\rm N}}\right)^{(\beta_3-1)/2}\left[\frac{1}{1-A_0}\left(1-\frac{T}{T_{\rm N}}\right)\right]^{\beta_3}, \tag{107}$$

где $A_0 = 0.9635$ и $\beta_3 \simeq 0.36$.

Рассмотрим теперь применение полученных результатов для анализа экспериментальных данных. Одним из хорошо изученных слоистых соединений является La_2CuO_4 [7, 83]. Значение перенормированного параметра обмена для этого соединения, $\gamma|J| \simeq 1850$ K может быть определено из экспериментальных данных для спин-волнового спектра при низких температурах [84], в то время как значение межплоскостного обмена $\alpha_{\rm r} = 1 \cdot 10^{-3}$ может быть найдено из сравнения намагниченности в ССВТ с экспериментальной зависимостью $\bar{\sigma}_{\rm r}(T)$ при низких температурах [28, 66]. На рисунке 5 представлены экспериментальная температурная зависимость намагниченности подрешетки в La_2CuO_4 [83], результаты спин-волновых приближений (СВТ, ССВТ и теории Тябликова) для этого соединения, РГ подхода и $1/N$-разложения. Результат для температуры Нееля $1/N$-разложения первого порядка $T_{\rm N} = 345$ K, что значительно ниже всех спин-волновых приближений и находится в хорошем согласии с экспериментальным значением $T_{\rm N}^{\rm exp} = 325$ K.

РГ подход правильно описывает зависимость $\bar{\sigma}_{\rm r}(T)$ в спин-волновой области ($T < 300K$) и области двумерных флуктуаций (которая очень узка при вышеприведенном малом значении α), в то время как при более высоких температурах этот подход переоценивает $\bar{\sigma}$. С другой стороны, кривая $1/N$-разложения расположена ближе всего

к экспериментальным данным и правильно описывает критическое поведение. Результаты численного решения уравнения (106) в температурной области (105) и зависимости (107) в критической области, совпадают в точке $T = 330$ K, отмеченной крестиком. Различие между теоретической и экспериментальной кривыми в температурной области 320 K$< T < 340$ K может быть обусловлено влиянием анизотропии. При фиксированном Δ и B_2, определенном из наилучшего совпадения с экспериментальными данными при промежуточных температурах (см. рис. 5), находим значения $\alpha_{\rm r} = 1 \cdot 10^{-4}$, $f_{\rm r} = 5 \cdot 10^{-4}$. Таким образом, рассматриваемый подход дает возможность оценить относительную роль межплоскостного обмена и магнитной анизотропии в слоистых соединениях. Отметим, что альтернативное объяснение различия между теоретическим и экспериментальным результатами, основанное на рассмотрении циклического 4-х спинового взаимодействия, было предложено в работе [85].

В слоистых перовскитах K_2NiF_4, Rb_2NiF_4 и K_2MnF_4 магнитная анизотропия, как известно, является более важной, чем межплоскостной обмен. Соединение K_2NiF_4 имеет спин $S = 1$, из данных нейтронного рассеяния следует $|J| = 102$ K и $T_{\rm N}^{\rm exp} = 97.1$ K [3]. На рисунке 6 показана экспериментальная зависимость $\bar{\sigma}(T)$ [1] и результаты спин-волновых подходов, РГ подхода и $1/N$-разложения. Значение $f_{\rm r} = 0.0088$ было получено из сравнения результата намагниченности ССВТ с экспериментальными данными при низких температурах (это значение хорошо согласуется с экспериментальным $f_{\rm r} = 0.0084$ [3]). В спин-волновом и двумерном флуктуационном температурных интервалах ($T < 80$ K) кривые, соответствующие $1/N$-разложению и РГ подходу, располагаются несколько выше, чем экспериментальные точки, поскольку $T^2/f_{\rm r}c^2$ в этой области не велико. В то же время кривая $1/N$-разложения находится в хорошем численном согласии с экспериментальными данными. Процедура экстраполяции к изинговскому критическому поведению дает $T_{\rm N} = 91.4$ K, причем ширина критической изинговской области составляет 1 K. Отметим, что учет членов порядка $1/x_{\bar{\sigma}}$ в (106) приводит к значению $T_{\rm N} = 92.7$ K. В переходной к критическому поведению области $80 < T < 90$ K теоретическая O(3) кривая для K_2NiF_4, в отличие от случая La_2CuO_4 лежит слегка ниже экспериментальной. Этот факт может быть приписан влиянию межплоскостного обмена. Определение соответствующих параметров в переходной области приводит к значениям $\alpha_{\rm r} = 0.0017$, $f_{\rm r} = 0.0069$, которые соответствуют $T_{\rm N} = 97$ K и затравочным параметрам $\alpha|J| = 0.1$ K, $\zeta|J| = 0.76$ K. Соответствующие экспериментальные данные для α отсутствуют, поэтому сравнение с экспериментом в данном случае затруднительно.

Соединение Rb_2NiF_4 обладает сильной магнитной анизотропией: согласно [3] $|J| = 82$ K, $|J|f_{\rm r} = 3.45$ K, $T_{\rm N}^{\rm exp} = 94.5$ K. Сравнение экспериментальной зависимости $\bar{\sigma}_{\rm r}(T)$ с результатами ССВТ при низких температурах приводит к значению параметра анизотропии $f_{\rm r} = 0.046$, в хорошем согласии с вышеприведенным экспериментальным значением. Из (102) следует $T_{\rm N} = 95.5$ K, что также находится близко к экспериментальным

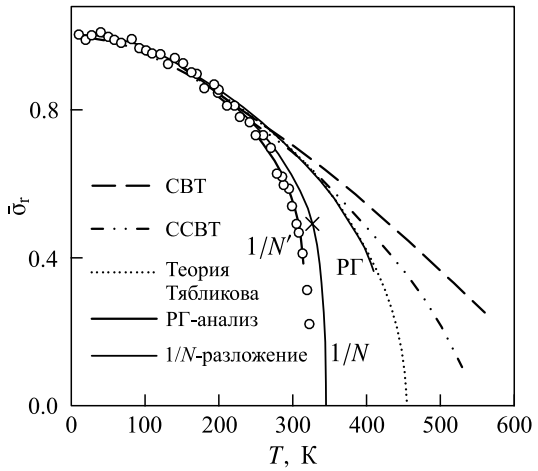


Рис. 5: Теоретические температурные зависимости относительной намагниченности подрешетки $\bar{\sigma}_{\rm r}$ в различных приближениях: спин-волновых теориях, РГ подходе (97) и $1/N$-разложении в O(N) модели (уравнения (106) и (107)) и экспериментальные точки для La_2CuO_4 [2]. Кривая РГ приведена вплоть до температуры, где производная $\partial\bar{\sigma}_{\rm r}/\partial T$ расходится. Кривая, обозначенная как $1/N'$, ближе к экспериментальным данным в переходной температурной области благодаря включению анизотропии, определенной из условия равенства $T_{\rm M}$ его экспериментальному значению (см. обсуждение в тексте)

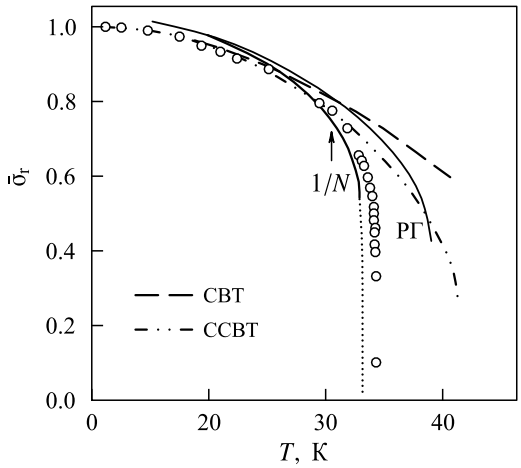


Рис. 6: Относительная намагниченность подрешетки $\bar{\sigma}_{\rm r}(T)$ для K_2NiF_4 (точки) по сравнению со стандартной спин-волновой теорией (пунктир), ССВТ (штрих-пунктир), РГ подходом и результатом решения уравнения (106) в промежуточной температурной области (сплошная линия). Короткий пунктир показывает экстраполяцию результата $1/N$-разложения на изинговскую критическую область. Граница между областью с флуктуациями двумерного типа и поведения переходного к критическому отмечена стрелкой

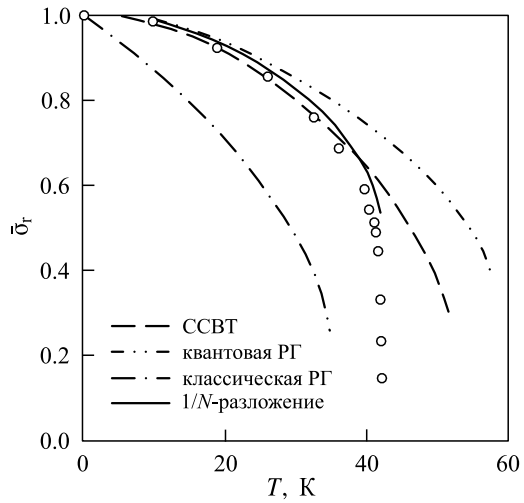


Рис. 7: Экспериментальная зависимость $\bar{\sigma}_r(T)$ для K_2MnF_4 (точки) по сравнению с результатами ССВТ (пунктирная линия), квантовым РГ анализом (две точки-пунктир), классическим РГ анализом (штрих-пунктир) и решением (106) (сплошная линия)

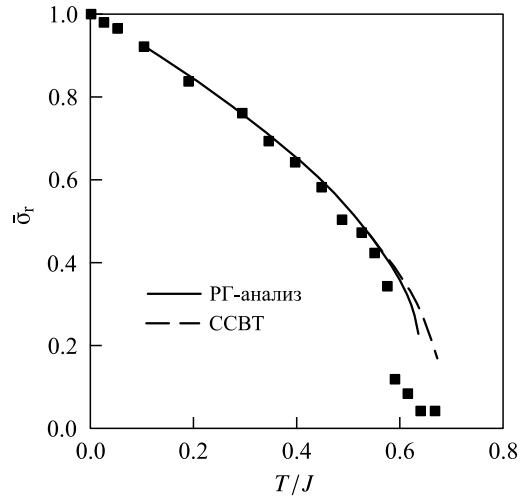


Рис. 8: Результаты ренормгруппового подхода (сплошная линия) и ССВТ (пунктирная линия) для относительной намагниченности $\bar{\sigma}$ классического анизотропного двумерного магнетика ($\zeta = 0$, $\eta = 0.001$) в сравнении с результатами вычисления методом Монте-Карло [86]. РГ и ССВТ кривые показаны до температуры, где $\partial\bar{\sigma}/\partial T = \infty$

данным для температуры Нееля.

Таблица 2: Экспериментальные параметры и температуры магнитного перехода слоистых магнетиков и соответствующие теоретические значения T_{M} в стандартной спин-волновой теории (СВТ), самосогласованной спин-волновой теории (ССВТ) и $1/N$-разложении

Соединение	S	J, K	J', K	η	$T_{\mathrm{СВТ}}$, K	$T_{\mathrm{ССВТ}}$, K	$T_{1/N}$, K	$T_{\mathrm{эксп}}$, K
La_2CuO_4	1/2	1600	0.8	0	672	537	343	325
K_2NiF_4	1	102	0	0.0088	160	125	90.0	97.1
Rb_2NiF_4	1	82	0	0.046	180	118	88.4	94.5
K_2MnF_4	5/2	8.4	0	0.015	74.8	52.1	42.7	42.1
$CrBr_3$	3/2	12.38	1	0.024	79.2	51.2	39.0	40.0

Соединение K_2MnF_4 имеет спин $S = 5/2$ и поэтому представляет собой промежуточную ситуацию между квантовым и классическим случаями. Параметры обмена и анизотропии $|J| = 8.4$ K, $|J|f_{\mathrm{r}} = 0.13$ K могут быть найдены из данных нейтронного рассеяния [3]. Рисунок 7 показывает сравнение результатов различных подходов с экспериментальными данными для этого соединения. Можно видеть, что $1/N$-разложение приводит к результатам, хорошо описывающим экспериментальную ситуацию во всем интервале температур. В то же время экспериментальные точки расположены между квантовой и классической РГ кривыми, причем квантовое приближение является более удовлетворительным. Это подтверждает квантовый характер поправок к намагниченности даже при относительно большой величине спина. В рассматриваемом случае ССВТ, правильно учитывающая возбуждения на масштабе постоянной решетки, приводит к лучшим результатам по сравнению с РГ подходом. Таким образом, аккуратное рассмотрение систем с большим спином в рамках континуальных моделей требует численного расчета интегралов по импульсам и суммирования по мацубаровским частотам.

Рисунок 8 показывает сравнение результатов ССВТ и РГ подхода для намагниченности классического магнетика с вычислениями методом Монте-Карло [86]. Можно видеть, что за исключением узкой критической области, кривая РГ довольно точна, хотя при этом пренебрегается топологическими возбуждениями. Область применимости РГ подхода в классическом случае более широка, чем в квантовом случае, так что нет необходимости использовать $1/N$-разложение для описания переходной и критической области.

Описанные результаты сравнения теоретических и экспериментальных данных по слоистым перовскитам суммированы в таблице 2 и показывают, что РГ подход и $1/N$-разложение в $\mathrm{O}(N)$ модели приводят к количественно правильным результатам тем-

пературы магнитного перехода и намагниченности этих систем, находящихся в хорошем согласии с экспериментальными данными.

2 Квазидвумерные магнетики с анизотропией типа «легкая плоскость»

Другой важный класс низкоразмерных систем — двумерные системы с анизотропией типа «легкая плоскость», обсуждавшиеся во Введении. Классическая двумерная XY модель, соответствующая предельному случаю сильной легкоплоскостной анизотропии, была подробно изучена в ранних работах [87—89]. В указанных работах было продемонстрировано, что элементарными возбуждениями в этой модели являются топологические вихревые структуры и существует переход Березинского—Костерлица—Таулеса, связанный с диссоциацией вихревых пар при температуре

$$T_{\text{ВКТ}} = \frac{\pi}{2}|J|S^2. \tag{108}$$

При этой же температуре степенная зависимость корреляционной функции спинов от расстояния изменяется на экспоненциальную (в квантовой XY модели ситуация более сложная, поскольку должны быть учтены не только поперечные, но и продольные компоненты спина).

Более физически реальная ситуация, однако, описывается двумерной моделью Гейзенберга (1) со слабой анизотропией типа «легкая плоскость», т. е. $\eta, \zeta < 0$ и $|\eta|, |\zeta|, \alpha \ll 1$ (для удобства в дальнейшем сделаем замену $\eta \to -\eta$, $\zeta \to -\zeta$). В этом случае спин-волновые возбуждения при низких температурах играют определяющую роль в температурной зависимости (подрешеточной) намагниченности. Как и в случае «легкая ось», при температурах, не слишком низких по сравнению с температурой магнитного фазового перехода, необходим правильный учет динамического взаимодействия спиновых волн.

При слабой анизотропии «легкая плоскость», однако, переход Березинского—Костерлица—Таулеса предшествует магнитному фазовому переходу. При этом благодаря существованию «квазидальнего» порядка при $T < T_{\text{ВКТ}}$ включение сколь угодно слабого межплоскостного обмена приводит к появлению магнитного перехода выше $T_{\text{ВКТ}}$. Простое выражение для температуры Березинского—Костерлица—Таулеса, полученное в пределе малой анизотропии, имеет вид [90]

$$T_{\text{ВКТ}} = \frac{4\pi|J|S^2}{\ln(\pi^2/\eta)}. \tag{109}$$

Как и для изотропных и легкоосных магнетиков, формула (109) недостаточна для количественного описания экспериментальных данных.

Аналогично магнетикам с анизотропией типа «легкая ось», можно ожидать, что термодинамические свойства этих систем, за исключением узкой окрестности $T_{\text{ВКТ}}$, определяются возбуждениями спин-волнового типа и для учета влияния взаимодействия спиновых волн при температурах вне критической области вновь может быть применен метод ренормгруппы [91].

РГ анализ снова выполняется на основе функционала (56). В классическом случае (т. е. в пренебрежении динамической частью действия, содержащей производную по времени), имеется два типа возбуждений: поле n_y описывает бесщелевые возбуждения в плоскости, а поле n_z — возбуждения с поворотом спина поперек плоскости, обладающие щелью в энергетическом спектре. Разложение (56) по $n_{y,z}$ (ось квантования (подрешеточной) намагниченности предполагается вдоль x) приводит в ведущем порядке по $1/S$ к действию

$$L_{\text{st}} = \frac{1}{2}S^2 \int\limits_0^{1/T} d\tau \sum_{\mathbf{k}} [(J_0 - J_{\mathbf{k}})\pi_{y\mathbf{k}}\pi_{y,-\mathbf{k}} + (J_0 - J_{\mathbf{k}} - \eta J_{\mathbf{k}})\pi_{z\mathbf{k}+\mathbf{Q}}\pi_{z,-\mathbf{k}-\mathbf{Q}}], \tag{110}$$

где $\mathbf{Q}$ — волновой вектор магнитной структуры и вектор $\mathbf{n}$ был представлен в виде $n = \{\sigma, \pi_y, \pi_z\}$. Температура Костерлица—Таулеса может быть вычислена методом, аналогичным вычислению температуры магнитного перехода в случае анизотропии типа «легкая ось». Уравнения ренормгруппы в двумерном гейзенберговском режиме остаются теми же, что и для анизотропии «легкая ось» с заменой $\eta \to -\eta$, $\zeta \to -\zeta$. Вычисление, температуры Костерлица—Таулеса приводит к результату [91]

$$t_{\text{ВКТ}} = \left[\ln(\mu_0/\sqrt{\eta}) + 2\ln(2/t_{\text{ВКТ}}) + C\right]^{-1}, \tag{111}$$

где C — универсальная постоянная.

Для вычисления корреляционной длины при температурах, больших температуры Костерлица—Таулеса и определения температуры магнитного фазового перехода в присутствии межплоскостного обмена, произведем «сшивку» результатов, полученных в O(3) режиме с известными результатами для эффективной классической XY модели. Действительно, даже если исходная модель — квантовая, на масштабах $\mu \ll \sqrt{\eta} \ll L_\tau^{-1}$ эффективная XY модель является классической, поскольку L_τ определяет характерный масштаб, отделяющий квантовые флуктуации от классических (см. раздел 1.3 и рис. 9). Таким образом, все квантовые эффекты уже учтены на масштабах $\mu \gg \sqrt{\eta}$, где поведение РГ траекторий — гейзенберговское.

Стандартная система РГ уравнений [88, 89] двумерной классической XY модели может быть записана в используемых обозначениях в виде

$$\mu \frac{d(1/t_\mu)}{d\mu} = 32\pi^2 y_\mu^2,$$

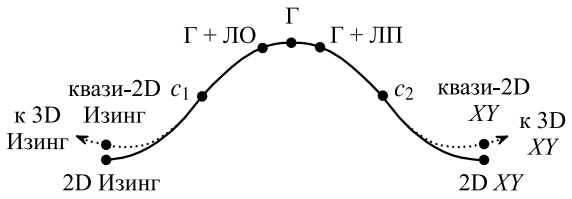


Рис. 9: Схематическая картина РГ траекторий в слоистых магнетиках. Левая сторона: преобразование от двумерной модели Гейзенберга с анизотропией «легкая ось» ($\Gamma + \text{ЛО}$) к двумерной модели Изинга. Правая сторона: преобразование от двумерной модели Гейзенберга с анизотропией «легкая плоскость» ($\Gamma + \text{ЛП}$) к двумерной XY модели. Точки перегиба c_1, c_2 отмечают переходные области. Пунктирные линии — для соответствующих квазидвумерных моделей

$$\mu \frac{dy_\mu}{d\mu} = -y_\mu \left(2 - \frac{1}{2t_\mu}\right). \tag{112}$$

Необходимо отметить, что константой связи для системы вихрей является не t (как для спиновых волн), а $y = \exp(-E_0/T)$ где E_0 — энергия вихря. Пусть $\mu_1 \ll \sqrt{\eta}$ — масштаб, где осуществляется переход от уравнений (63)—(66) к уравнениям (112). Обозначим соответствующую эффективную температуру $t_1 \equiv t_{\mu_1}$, константу связи вихрей $y_1 \equiv y_{\mu_1}$ так что

$$\frac{1}{t_1} = \frac{1}{t} - \ln\frac{\mu_0}{\sqrt{\eta}} + 2\ln\frac{t}{t_1} + \Phi(\mu_1), \tag{113}$$

$$y_1 = \frac{1}{4\pi}\left[\frac{\mu}{2}\frac{d\Phi(\mu)}{d\mu}\right]^{1/2}_{\mu=\mu_1}.$$

Тогда решение уравнений (112) для $t \geqslant t_{\text{ВКТ}}$ имеет вид

$$\frac{1}{t_\mu} = 4 + 2C_1 \tan\left(C_1 \ln\frac{\mu}{\mu_1} + C_2\right), \tag{114}$$

где

$$C_1 = \frac{\sqrt{(8\pi y_1 t_1)^2 - (4t_1 - 1)^2}}{2t_1},$$

$$\tan C_2 = \frac{1 - 4t_1}{\sqrt{(8\pi y_1 t_1)^2 - (4t_1 - 1)^2}}. \tag{115}$$

Температура Костерлица—Таулеса $T_{\text{ВКТ}}$ определяется уравнением сепаратрисы

$$8\pi y_1 = \frac{1}{t_1} - 4, \quad t = t_{\text{ВКТ}} \tag{116}$$

отделяющей низко- и высокотемпературные фазы. Для достаточно малых μ имеем $\Phi(\mu) \to \text{const}$, $d\Phi(\mu)/d\mu \to 0$, и для $t_{\text{ВКТ}} = T_{\text{ВКТ}}/(2\pi JS^2)$ (или $T_{\text{ВКТ}}/(2\pi\rho_{\text{s}})$ в АФМ-случае) воспроизводим результат (111) с $C = 4 - 6\ln 2 - \Phi(\mu \to 0)$.

В критической области выше $t_{\text{ВКТ}}$,

$$\frac{t_{\text{ВКТ}}^{-1} - t^{-1}}{8\pi} \ll 1, \tag{117}$$

выражение для корреляционной длины, полученное из (114), имеет вид

$$\xi = \frac{1}{\mu_1} \exp\left(-\frac{C_2}{C_1}\right) \simeq \frac{1}{\sqrt{\eta}} \exp\left(\frac{A}{2\sqrt{t_{\text{ВКТ}}^{-1} - t^{-1}}}\right) \tag{118}$$

сходный с результатом для классической XY модели (A — некоторая константа). При условии, обратном (117), имеем стандартное гейзенберговское поведение [47]

$$\xi = \frac{C_\xi}{\mu_0} t \exp \frac{1}{t}. \tag{119}$$

В присутствии межплоскостного обмена, при достаточно низких температурах возникает магнитный порядок. Из-за топологических эффектов, температура перехода при малом межплоскостном обмене стремится к $T_{\text{ВКТ}}$, а не к нулю. В случае $\alpha \ll \eta$ выберем μ_1 таким, что $\alpha^{1/2} \ll \mu_1 \ll \eta^{1/2}$. В терминах РГ преобразования, при $\mu = \mu_1$ необходимо рассматривать квазидвумерную эффективную XY модель с постоянной решетки μ_0/μ_1 и межплоскостным обменом $(\mu_0/\mu_1)^2\alpha_1$, где

$$\alpha_1 \equiv \alpha_{\mu_1} = \alpha \frac{t}{t_1}. \tag{120}$$

При РГ преобразовании эта модель преобразуется к трехмерной XY модели. Описание этой части РГ преобразования затруднительно вследствие сложной геометрии вихревых петель в трехмерном пространстве. Вместо прямого вычисления РГ траекторий, используем те же самые аргументы как в разделе 1.4 для квазидвумерного случая с анизотропией «легкая ось». Температура перехода может быть определена из требования, чтобы корреляционная длина модели без межплоскостного обмена ($\alpha = 0$) совпадала с характерным масштабом перехода от двумерной к трехмерной XY модели, $1/\alpha_1^{1/2}$ (в единицах постоянной решетки). Тогда находим для критической температуры $t_{\text{c}} = T_{\text{C}}/(2\pi J S^2)$ (или $T_{\text{N}}/(2\pi\rho_{\text{s}})$) в случае $\alpha \ll \eta$

$$t_{\text{c}} = \left[\ln \frac{\mu_0}{\sqrt{\eta}} + 2 \ln \frac{2}{t_{\text{ВКТ}}} + C - \frac{A^2}{\ln^2(\eta/\alpha)}\right]^{-1}. \tag{121}$$

Последний член в знаменателе определяет разницу между t_{c} и $t_{\text{ВКТ}}$. Так как этот член может быть не слишком мал, по нему не производится разложение результата (121).

Результат (121) качественно правилен вплоть до α порядка η (в этом случае, последний член в знаменателе приводит только к перенормировке константы C). В обратном

случае $\alpha \gg \eta$ поправки к результату РГ для квазидвумерных магнетиков вследствие анизотропии типа «легкая плоскость» определяются как

$$t_{\mathrm{c}} = \left[\ln \frac{\mu_0}{\sqrt{\alpha}} + 2 \ln \frac{2}{t_{\mathrm{c}}} + C' + O\left(\frac{\eta^{1/\psi}}{\alpha^{1/\psi}} \right) \right]^{-1}, \tag{122}$$

где $\psi = \nu_3(2 - \gamma_\eta)$ — критический индекс перехода (кроссовера) между изотропным и анизотропным поведением, ν_3 — соответствующий критический индекс трехмерной модели Гейзенберга, и γ_η — аномальная размерность параметра анизотропии трехмерной модели Гейзенберга. Результат ε-разложения в анизотропной ϕ^4-модели в размерности $4 - \varepsilon$ при $\varepsilon = 1$ есть $\psi \simeq 0.83$ [70]. Для антиферромагнетика, согласно (93) постоянная $C' \simeq -0.066$. В отличие от (121), последний член в знаменателе (122) имеет степенную зависимость от параметра анизотропии. Это есть следствие факта, что корреляционная длина в трехмерной модели Гейзенберга имеет степенное поведение с температурой (значение ν_3 конечно). По этой причине поправка в знаменателе (122) мала и для малой анизотропии ей можно пренебречь.

Обратимся теперь к экспериментальной ситуации. Наиболее экспериментально исследованная система с анизотропией типа «легкая плоскость» — соединение K_2CuF_4 является ферромагнетиком со спином $S = 1/2$, $T_{\mathrm{BKT}} = 5.5$ K, $T_{\mathrm{C}} = 6.25$ K и параметрами $J = 20$ K, $\eta = 0.04$, $\alpha = 6 \cdot 10^{-4}$ [3]. При подстановке этих значений в (111) и (121) можно определить $C \simeq -0.5$ и $A \simeq 3.5$. Эти значения констант могут быть проверены на других системах.

Другой пример квазидвумерного ФМ с анизотропией «легкая плоскость» — соединение $NiCl_2$ с $S = 1$. Согласно [3] его параметры — $J = 20$ K, $\eta = 8 \cdot 10^{-3}$ и $\alpha = 5 \cdot 10^{-5}$. Используя значения A и C, определенные для K_2CuF_4, находим $T_{\mathrm{BKT}} = 17.4$ K и $T_{\mathrm{C}} = 18.7$ K в согласии с экспериментальными данными (оба значения T_{BKT} и T_{C} лежат в области $18 - 20$ K). В то же время вычисления с ведущей логарифмической точностью согласно (109) приводят к $T_{\mathrm{BKT}} = 35.3$ K, что вдвое больше экспериментального значения.

Соединение $BaNi_2(PO_4)_2$ согласно [3] является антиферромагнетиком с $S = 1$, $|J| = 22.0$ K и анизотропией $\eta = 0.05$, $\alpha = 1 \cdot 10^{-4}$. Вычисление дает [100] $T_{\mathrm{BKT}} = 23.0$ K, что совпадает с экспериментальным значением и $T_{\mathrm{N}} = 24.3$ K, снова в хорошем согласии с $T_{\mathrm{N}}^{\mathrm{exp}} = 24.5 \pm 1$ K. Несмотря на то, что для этого соединения $T_{\mathrm{BKT}} \sim |J|S$, этот случай также должен рассматриваться как квантовый в соответствии с критерием квантового режима $(T/JS)^2 \ll 32$ (см. раздел 1.2).

3 Слоистые изотропные антиферромагнетики с треугольной решеткой

Особый случай слоистых систем представляют собой квазидвумерные магнетики с треугольными слоями, в которых существенную роль играют фрустрации. Примерами таких систем являются антиферромагнетики VCl_2 [72] и VBr_2 с крайне малым обменом между слоями.

Основное состояние в модели Гейзенберга для треугольной решетки в приближении ближайших соседей — неколлинеарное антиферромагнитное, причем намагниченность подрешетки заметно подавлена квантовыми флуктуациями. При включении обмена между вторыми соседями может происходить фазовый переход в состояние спиновой жидкости. Нелинейная сигма-модель неколлинеарного антиферромагнетика [73]

$$S_{\rm n} = \int\limits_0^{1/T} d\tau \int d^2x \left[\frac{1}{2} \left(\chi^0_{\rm out}(|\partial_\tau \mathbf{e}_1|^2 + |\partial_\tau \mathbf{e}_2|^2) - [2\chi^0_{\rm out} - \chi^0_{\rm in}](\mathbf{e}_1 \partial_\tau \mathbf{e}_2)^2 \right) + \right.$$
$$\left. + \frac{1}{2} \left(\rho^0_{\rm out}(|\nabla \mathbf{e}_1|^2 + |\nabla \mathbf{e}_2|^2) - [2\rho^0_{\rm out} - \rho^0_{\rm in}](\mathbf{e}_1 \nabla \mathbf{e}_2)^2 \right) \right], \quad (123)$$

характеризуется двумя спиновыми жесткостями $\rho^0_{\rm in,out}$ и восприимчивостями $\chi^0_{\rm in,out}$ для спиновых возбуждений в плоскости упорядочения и с выходом из указанной плоскости. Первому типу возбуждений соответствует голдстоуновская (бесщелевая) точка спектра, соответствующая повороту всех спинов в плоскости на один и тот же угол, а второму — две голдстоуновских точки, соответствующие вращению плоскости в целом в двух возможных направлениях.

Ситуация в квазидвумерном случае также является специфичной. Ренормгрупповые уравнения могут быть записаны в виде, аналогичном коллинеарному случаю [74]:

$$\Lambda \frac{db}{d\Lambda} = \frac{(1+b)^2}{2y} \left[(N-1)b + 3 - N - \right.$$
$$\left. - \frac{1+b}{2y}[7(N-3) + b((N-1)b + 10 - 4N))] \right] + O(y^{-3}),$$

$$\Lambda \frac{dy}{d\Lambda} = (N-2)(1+b)^2 \left[\frac{1}{2} + \frac{1}{8} \frac{(1+b)^2}{y} \right] + O(y^{-2}),$$

$$\Lambda \frac{d \ln \alpha_{\rm out}}{d\Lambda} = \frac{3 + b(2+b)}{2y} + O(y^{-2}), \quad \Lambda \frac{d \ln \alpha_{\rm in}}{d\Lambda} = \frac{N - (N-2)b^2}{2y} + O(y^{-2}),$$

$$\Lambda \frac{d \ln \bar{\sigma}}{d\Lambda} = -\frac{1}{2} \frac{(N-2)(1+b) + 1}{y} + O(y^{-3}), \quad (124)$$

где $y = \rho_{\rm in}/T$, $b = \rho_{\rm in}/\rho_{\rm out} - 1$, $\alpha_{\rm in,out}$ — параметры межплокостного обмена, соответствующие двум спиновым жесткостям, N — число спиновых компонент ($N = 3$ в физическом случае). Однако из рисунка 10 видно, что как спин-волновая теория, так и ренормгрупповое рассмотрение [74] являются недостаточными, поскольку не приводят к удовлетворительному согласию с экспериментальными данными. Причина этого расхождения состоит в наличии топологических Z_2-вихрей в нелинейной сигма-модели (123). Являясь нетривиальными топологическими конфигурациями, они не могут быть учтены в ренормгруппе, которая учитывает только локальные свойства спиновых конфигураций на решетке.

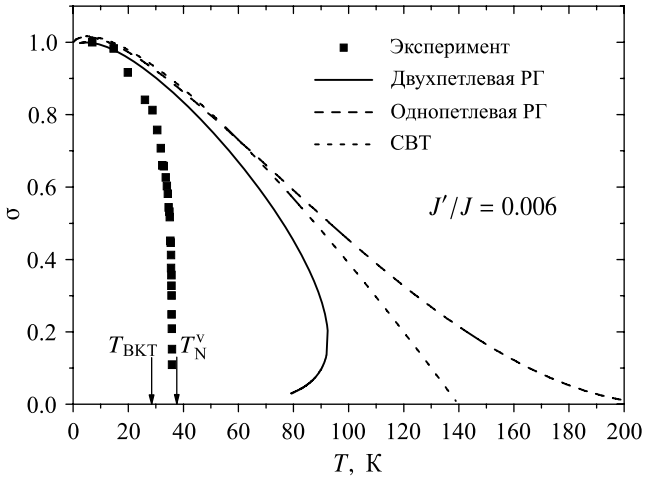


Рис. 10: Теоретические температурные зависимости относительной намагниченности подрешетки σ для слоистой треугольной структуры с $J'/J = 0.006$ в рамках спин-волновых и ренормгрупповых подходов. Квадратиками обозначены результаты по нейтронному рассеянию для VCl_2 [72]. $T_{\rm BKT}$ — температура активации вихрей, $T_{\rm N}^{\rm v}$ — оценка точки Нееля с учетом вихрей

Топологические вихри в изотропной модели Гейзенберга на треугольной решетке до некоторой степени похожи на вихри в XY модели [75, 76]. Однако в нашем случае спиновые волны не являются свободными, и поэтому их нельзя точно исключить, проинтегрировав по соответствующим степеням свободы.

Учет вихрей может быть выполнен с помощью метода Монте-Карло [77—79]. Такие вычисления (как и теоретические предсказания [75]) показывают, что в двумерной модели на достаточно большом расстоянии вихри связаны друг с другом логарифмическим кулоновским взаимодействием, так что при $T > T_{\rm BKT}$ корреляционная длина $\xi(T)$ имеет вид Костерлица—Таулесса [76]

$$\xi(T) = A \exp\left[b/\sqrt{T - T_{\rm BKT}}\right], \qquad (125)$$

Таблица 3: Параметры и температуры Нееля слоистых антиферромагнетиков с треугольной решеткой

	J, K	J'/J	$\Delta T/T_{\rm N}$	$T_{\rm N}^{\rm exp}$, K	$T_{\rm N}^{\rm v}$, K
VBr_2	32	0.06	0.6	29	56.6
VCl_2	44	0.006	0.3	36	39.8
$LiCrO_2$	80	0.0013	0.2	62	62.5

где $T_{\rm BKT} = 0.28JS^2$ и $b = 0.77$ [78]. Температура Нееля в квазидвумерном случае может быть определена как температура кроссовера между 2D и квази-2D режимами, $\xi(T_{\rm N}) \approx a\sqrt{J/J'}$. Таким образом, находим температуру Нееля с учетом вихрей [74]

$$T_{\rm N}^{\rm v} \approx T_{\rm BKT} + 2.37JS^2 \ln^{-2}\left(\frac{2J'}{J}\right). \tag{126}$$

В таблице 3 приведены экспериментальные и вычисленные по этой формуле значения точки Неля для слоистых антиферромагнетиков с треугольной решеткой ($S = 3/2$, $\Delta T = T_{\rm N}^{\rm v} - T_{\rm BKT}$). Видно, что в случае малого межслоевого обмена согласие является очень хорошим.

4 Квазиодномерные изотропные антиферромагнетики

4.1 Модель и самосогласованный спин-волновой подход

Для описания квазиодномерных систем может быть также использована модель Гейзенберга (1). Ниже рассматривается простейший случай изотропных антиферромагнетиков ($\eta = \zeta = 0$) со спином $S = 1/2$ и малым межцепочечным обменом $|J'| \ll J$. При этом гамильтониан удобно записать в виде

$$\mathscr{H} = J\sum_{n,i} \mathbf{S}_{n,i}\mathbf{S}_{n+1,i} + \frac{1}{2}J'\sum_{n,\langle ij\rangle} \mathbf{S}_{n,i}\mathbf{S}_{n,j}, \tag{127}$$

где n нумерует узлы в цепочке, i, j — индексы цепочек, $J > 0$ и J' — внутри- и межцепочечный обменные интегралы соответственно.

Чтобы применить самосогласованный спин-волновой подход, разделим решетку на подрешетки A и B и используем представление Дайсона—Малеева (3) для операторов спина в каждой подрешетке. Расцепление четырех-бозонных членов приводит к результату

$$\mathscr{H}_{\rm SSWT} = \sum_{i,\delta} \gamma_\delta (B_i^\dagger B_i - B_{i+\delta}^\dagger B_i), \tag{128}$$

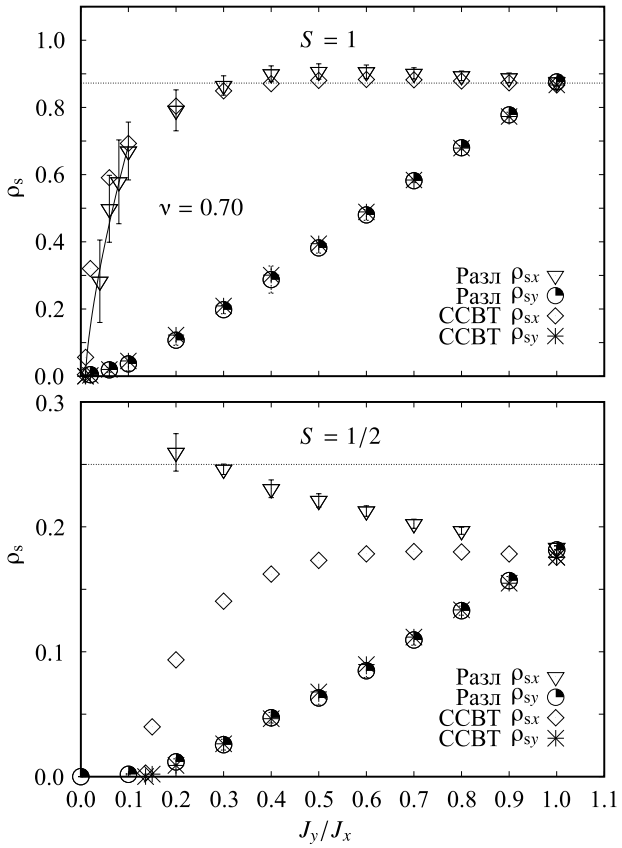


Рис. 11: Результаты численных разложений (Разл) и самосогласованной спин-волновой теории (ССВТ) для спиновой жесткости вдоль x и y направлений квазиодномерной модели Гейзенберга с $S = 1$ (верхний рисунок) и $S = 1/2$ (нижний рисунок) как функция J'/J. Тонкая линия показывает значение спиновой жесткости в одномерной модели

где

$$B_i = \begin{cases} a_i, & i \in A, \\ b_i^\dagger, & Ji \in B, \end{cases}$$

$\delta = x, y$ соответствуют ближайшим соседям в направлении x и y,

$$\gamma_\delta = J_\delta(\bar{S} + \langle a_i b_{i+\delta}\rangle) \tag{129}$$

параметры ближнего порядка, $J_x = J$, $J_y = J'$ и $\bar{S}$ — подрешеточная намагниченность. Диагонализуя гамильтониан (128), находим уравнения ССВТ при $T = 0$

$$\gamma_\delta = \bar{S} + \sum_k \frac{\Gamma_k}{2E_k} \cos k_\delta,$$

$$\bar{S} = S + \frac{1}{2} - \sum_k \frac{\Gamma_0}{2E_k}, \tag{130}$$

где спектр спиновых волн имеет вид

$$E_k = \sqrt{\Gamma_0^2 - \Gamma_k^2}, \tag{131}$$

с

$$\Gamma_k = 2(\gamma_x \cos k_x + \gamma_y \cos k_y) \tag{132}$$

и $\Gamma_0 \equiv \Gamma_{k=0}$ (мы предполагаем, что основное состояние — антиферромагнитно упорядочено). Аналогично рассмотрению раздела 1.1 параметры γ_δ просто связаны с функцией корреляции вращения на само-соседних участках $\gamma_\delta/J_\delta = |\langle S_i S_{i+\delta}\rangle|^{1/2}$. Константа спиновой жесткости вдоль направлений x и y выражается через эти параметры как

$$\rho_{s\delta} = S\bar{S}\gamma_\delta. \tag{133}$$

Результаты вычислений согласно уравнениям (130)—(133) показаны на рисунке 11, где также произведено их сравнение с результатами численного анализа модели (127), проведенного на основе построения разложения по параметру анизотропии типа «легкая ось» с последующим переходом к изотропному пределу [80].

Для спина $S = 1$ спин-волновые результаты близки к численным во всем диапазоне $0 < J'/J < 1$. Дальний антиферромагнитный порядок исчезает при значении анизотропии $J'/J = 0.01$ в согласии с результатами других подходов (см. например [81]). Спиновая жесткость исчезает в точке магнитного квантового фазового перехода с критическим индексом $n = 0.7$ в согласии с результатами масштабного анализа [82]; спин-волновая теория предсказывает несколько большее значение критического индекса $n = 1$.

В то же время, при $S = 1/2$ два рассмотренных метода дают качественно различные результаты для спиновой жесткости вдоль цепочек ρ_{sx}: в то время как спиновая

жесткость в спин-волновой теории уменьшается с уменьшением J'/J (аналогично случаю $S = 1$), численный анализ приводит к увеличению ρ_{sx}. При этом количественное несоответствие между теорией спиновых волн и численным анализом видно уже при маленьких анизотропиях, с увеличением анизотропии различие становится качественным. Расхождение между результатами спин-волновой теории и численными данными демонстрирует недостаточность спин-волновой теории для описания квазиодномерных систем со спином и возникает в связи с наличием топологических возбуждений, не учитываемым в рамках этой теории.

4.2 Процедура бозонизации

Для учета топологических возбуждений в случае спина $S = 1/2$ необходим выход за рамки спин-волновой теории. Наиболее удобной процедурой, позволяющей это сделать, является процедура «бозонизации». С этой целью, спиновые операторы представляются как функции ферми-операторов, которые затем выражаются существенно нелинейным образом через бозонные операторы (см., например, [92]). Полученные соотношения между спиновыми и бозевскими операторами содержат информацию как о спин-волновых, так и топологических возбуждениях, и имеют вид

$$\mathbf{S}_{n,i} = \mathbf{J}_i(x) + (-1)^n \mathbf{n}_i(x), \tag{134}$$

где

$$J_i^z(x) = \frac{\beta}{2\pi}\partial_x\varphi_i(x),$$
$$J_i^{\pm}(x) = \frac{\lambda}{\pi}\exp[\pm i\beta\theta_i(x)]\cos\beta\varphi_i(x), \tag{135}$$

и

$$n_i^z(x) = \frac{\lambda}{\pi}\cos\beta\varphi_i(x),$$
$$n_i^{\pm}(x) = \frac{\lambda}{\pi}\exp[\pm i\beta\theta_i(x)], \tag{136}$$

λ — постоянная масштаба обратной постоянной решетки, $\beta = \sqrt{2\pi}$.

Гамильтониан (127), записанный в терминах бозе-операторов $\varphi_i(x)$ имеет вид

$$\mathscr{H} = \frac{v}{2}\sum_i \int dx\,\left[\Pi_i^2 + (\partial_x\varphi_i)^2\right] + g_{\mathrm{u}}\sum_i\int dx\cos 2\beta\varphi_i - \\ - \frac{J'\lambda^2}{2\pi^2}\sum_{i,\delta_\perp}\int dx[\cos(\beta\varphi_i)\cos(\beta\varphi_{i+\delta_\perp}) + \cos\beta(\theta_{i+\delta_\perp} - \theta_i)], \tag{137}$$

где $v = \pi J/2$, Π_i является импульсом, канонически сопряженным с φ_i, θ_i удовлетворяет соотношению $\partial_x\theta_i = -\Pi_i$. Первая строка в (137) соответствует системе отдельных цепочек и имеет форму гамильтониана стандартной модели синус-Гордона. Первый член

в (137) описывает свободную бозе-систему, а второй соответствует взаимодействию бозонов вдоль цепочек, возникающего из-за рассеяния с процессом переброса («umklapp» рассеяния) фермионов, осуществляющих преобразование Йордана—Вигнера; последний вклад является маргинальным с РГ точки зрения и дает логарифмические поправки к термодинамическим величинам [37, 93—97]. Численные оценки (см. [37, 93]) приводят к значению взаимодействия $g_{\rm u}/(2\pi) \simeq 0.25$. Вторая строка в (137) описывает взаимодействие между цепочками.

4.3 Приближение межцепочечного среднего поля для бозонизированного гамильтониана и поправки первого порядка по $1/z_\perp$

Простейший способ рассмотрения межцепочечного обменного взаимодействия — так называемое межцепочечное приближение среднего поля [37]. Расцепляя член взаимодействия согласно

$$\cos(\beta\varphi_i)\cos(\beta\varphi_{i+\delta_\perp}) \to 2\langle\cos(\beta\varphi_{i+\delta_\perp})\rangle\cos(\beta\varphi_i), \tag{138}$$

находим

$$\mathscr{H}_{\rm MF} = \frac{v}{2}\sum_i \int dx\,\left[\Pi_i^2 + (\partial_x\varphi_i)^2\right] + g_{\rm u}\sum_i\int dx\cos 2\beta\varphi_i - \frac{\lambda}{\pi}h_{\rm MF}\sum_i\int dx\cos(\beta\varphi_i) \tag{139}$$

где

$$h_{\rm MF} = z_\perp J'\frac{\lambda}{\pi}\langle\cos(\beta\varphi_i)\rangle, \tag{140}$$

$z_\perp$ — число ближайших соседей в поперечном к цепочке направлении ($z_\perp = 4$ для тетрагональной решетки). Приближение (138) дает возможность свести проблему многих цепочек к проблеме одной цепочки в эффективном подрешеточном магнитном поле. Вводя функцию

$$B(h;T) = \frac{\lambda}{\pi}\langle\cos(\beta\varphi_i)\rangle_h, \tag{141}$$

вычисляемую в присутствии магнитного поля (последний член в (139)), получаем самосогласованное уравнение для подрешеточной намагниченности $\bar{S}$

$$\bar{S}_{\rm MF} = B(z_\perp J'\bar{S}_{\rm MF};T). \tag{142}$$

Несмотря на то, что гамильтониан $\mathscr{H}_{\rm MF}$ имеет одноцепочечную форму, вычисление функции $B(h;T)$ (являющейся аналогом функции Бриллюэна в обычной теории среднего поля гейзенберговских магнетиков) при произвольных температурах — достаточно

сложная задача. Согласно размерной оценке, $B(h;T) = h^{1/3} f(h^{2/3}/T)$ с некоторой функцией $f(x)$, $f(x) \sim x$ при $x \to 0$ и $f(\infty) = \text{const}$. Для $g_{\text{u}} = 0$ (в этом случае имеем стандартную модель синус-Гордона или, что эквивалентно, массивную модель Тирринга) $B(h;T)$ была определена с помощью Бете-анзаца [98]. При $h \to 0$

$$B(h,T) = h\chi_0(T), \tag{143}$$

где $\chi_0(T)$ — подрешеточная восприимчивость системы в отсутствии поля h [37, 97],

$$\chi_0(T) = \frac{\tilde{\chi}_0}{T} L\left(\frac{\Lambda J}{T}\right), \quad \tilde{\chi}_0 = \frac{\Gamma^2(1/4)}{4\Gamma^2(3/4)} \simeq 2.1884, \tag{144}$$

$$L(\Lambda J/T) = C\left[\ln\frac{\Lambda J}{T} + \frac{1}{2}\ln\ln\frac{\Lambda J}{T} + O(1)\right]^{1/2}. \tag{145}$$

Константы C и Λ могут быть определены на основании численных расчетов [99]: $C \simeq 0.137$, $\Lambda \simeq 5.8$.

Результат (143) дает возможность вычислить значение T_{N} в теории среднего поля, поскольку $h_{\text{MF}} \to 0$ при $T \to T_{\text{N}}$. Уравнение для температуры Нееля имеет вид [37]

$$T_{\text{N}}^{MF} = z_\perp J' \tilde{\chi}_0 L(\Lambda J/T_{\text{N}}^{MF}). \tag{146}$$

Таким образом, согласно межцепочечной теории среднего поля $T_{\text{N}} \propto |J'|$; подрешеточная намагниченность основного состояния $\bar{S}_0 \propto \sqrt{|J'|/J}$ также зависит степенным образом от J', что означает возникновение дальнего порядка при произвольно малых $|J'|$. Эти результаты противоречат стандартной теории спиновых волн, которая не делает различия между целыми и полуцелыми значениями спинов и предсказывает конечное критическое значение $J'_{\text{c}} \sim Je^{-\pi S}$ [31, 54], так что при $|J'| < J'_{\text{c}}$ подрешеточная намагниченность $\bar{S}_0$ исчезает и

$$\bar{S}_0 \propto \ln|J'/J'_{\text{c}}|, \quad T_{\text{N}} \propto \bar{S}_0\sqrt{|J'|} \tag{147}$$

при $|J'| > J'_{\text{c}}$. Указанное противоречие было разрешено с помощью метода ренормгруппы [34—36], показавшего, что на масштабе обратной длины $\mu \gg J'_{\text{c}}/J$ стандартная спин-волновая теория действительно применима, причем перенормировочный фактор намагниченности $Z_\mu^{-1/2} \propto \ln\mu$. С другой стороны, для полуцелых спинов при $\mu \ll J'_{\text{c}}/J$имеет место зависимость $Z_\mu^{-1/2} \propto \mu^{1/2}$ [34,35], означающая справедливость результатов теории межцепочечного среднего поля при $|J'| \ll J'_{\text{c}}$.

В то же время численные значения температуры Нееля в межцепочечной теории среднего поля оказываются сильно завышенными по сравнению с экспериментальными данными, поскольку эта теория не принимает во внимание эффекты корреляций между спинами, расположенными на разных цепочках. В частности, значение температуры Нееля (146) не чувствительно к пространственной размерности системы, хотя

в случае $d = 1 + 1$ (оба измерения являются пространственными, второе соответствует направлению, поперечному по отношению к цепочкам) должно быть $T_{\rm N} = 0$; для случая $d = 1+2$ значения $T_{\rm N}$ оказываются слишком высокими по сравнению с экспериментальными данными.

Корреляции между положениями спинов на разных цепочках выражаются в наличии коллективных возбуждений, вносящих вклад в термодинамические свойства. При этом ситуация в межцепочечной теории среднего поля аналогична недостаткам теории Стонера для зонных магнетиков, которая пренебрегает вкладом коллективных возбуждений, позже учтенных в теории Мории [24]. Как и в теории Мории, коллективные возбуждения в модели Гейзенберга могут быть рассмотрены в рамках приближения случайных фаз (ПСФ), в котором они определяются полюсами спиновых восприимчивостей [37, 94]

$$\chi^{+-}(q_z, \omega) = \frac{\chi_0^{+-}(q_z, \omega)}{1 - J'(q_x, q_y)\chi_0^{+-}(q_z, \omega)/2}, \tag{148}$$

$$\chi^{zz}(q_z, \omega) = \frac{\chi_0^{zz}(q_z, \omega)}{1 - J'(q_x, q_y)\chi_0^{zz}(q_z, \omega)}, \tag{149}$$

где для тетрагональной решетки

$$J'(q_x, q_y) = 2J'(\cos q_x + \cos q_y), \tag{150}$$

$\chi_0(q, \omega)$ — динамическая подрешеточная восприимчивость в модели (139). При $h \to 0$ восприимчивость $\chi_0(q, \omega)$ также определяется простыми аналитическими выражениями [96, 97]:

$$\chi_0(q_z, \omega) = \frac{1}{T} L\left(\frac{\Lambda}{T}\right) \tilde{\chi}_0(q_z/T, \omega/T),$$

$$\tilde{\chi}_0(k, \nu) = \frac{1}{4} \frac{\Gamma(1/4 + ik_+)\Gamma(1/4 + ik_-)}{\Gamma(3/4 + ik_+)\Gamma(3/4 + ik_-)}, \quad k_\pm = \frac{\nu \pm k}{4\pi}. \tag{151}$$

При этом $\chi_0(0, 0) = \chi_0(T)$.

Чтобы определить поправки к межцепочечной теории среднего поля, связанные с вкладом коллективных возбуждений, можно использовать $1/z_\perp$-разложение ($z_\perp$ — число ближайших соседей в направлениях поперечных к цепочкам) [100]. Этот подход подобен $1/z$ разложению (или разложению по обратному радиусу взаимодействия), использовавшемуся много лет назад для улучшения стандартной теории среднего поля гейзенберговских магнетиков [101, 102]; он позволяет определить температуру Нееля квазиодномерных систем с большей точностью, чем в межцепочечном приближении среднего поля. Для намагниченности подрешетки при этом получается результат

$$\bar{S} = \frac{1}{T} h_{\rm MF} \tilde{\chi}_0 L\left(\frac{\Lambda}{T}\right) \left\{1 + \frac{\pi^2}{2T\tilde{\chi}_0} L\left(\frac{\Lambda}{T}\right) \int d^2{\rm r} V({\rm r}) \left[\frac{1}{8} F({\rm r}) + \frac{1}{2} G({\rm r})\right]\right\}, \tag{152}$$

где

$$V^{+-,zz}(\mathrm{x}) = T\sum_{i\omega_n}\int_{-\pi}^{\pi}\frac{dq_z}{2\pi}\sum_{q_x,q_y}\frac{J'(q_x,q_y)\exp(iq_z x - i\omega_n\tau)}{1+\delta - J'(q_x,q_y)\chi_0^{+-,zz}(q_z,\omega)}, \tag{153}$$

$$\tilde{\chi}_0 = \frac{\pi}{2}\int d^2\mathrm{z}\frac{1}{|\tilde{\zeta}(\mathrm{z})|} \simeq 2.1184 \tag{154}$$

и функции $F(\mathrm{r})$, $G(\mathrm{r})$ определены в [100]. С использованием связи между средним полем и подрешеточной намагниченностью (140) после собирания всех поправок в знаменатель результат для температуры Нееля в первом порядке по $1/z_\perp$ принимает вид

$$T_\mathrm{N} = kJ' z_\perp \tilde{\chi}_0 L(\Lambda/T_\mathrm{N}). \tag{155}$$

Результат (155) отличается от результата тории среднего поля (146) множителем k, зависящем от структуры решетки в направлении, перпендикулярном к цепочкам. Численный расчет для случая $d = 1+2$ на тетрагональной решетке приводит к значению $k \simeq 0.70$. Таким образом, уменьшение T_N благодаря флуктуационным эффектам составляет 25% его средне-полевого значения, что находится в хорошем согласии с результатами численного анализа [103]. Для $d = 1+1$ имеем $k = 0$, так что $T_\mathrm{N} = 0$.

Аналогичные вычисления подрешеточной намагниченности основного состояния приводят к результату [100]

$$\bar{S} = \bar{S}_0 - \frac{\Delta}{4\pi}\frac{\partial\Delta}{\partial h}I,$$

$$I = \sum_{\mathbf{q}}\left[(1-\Gamma'_{\mathbf{q}}/2)\ln\frac{1}{1-\Gamma'_{\mathbf{q}}} + (3 - Z'\Gamma'_{\mathbf{q}}/2Z)\ln\frac{1}{1-Z'\Gamma'_{\mathbf{q}}/(3Z)}\right], \tag{156}$$

где $\Gamma'_{\mathbf{q}} = \cos q$ для $d = 1+1$ и $\Gamma'_{\mathbf{q}} = (\cos q_x + \cos q_y)/2$ для $d = 1+2$. Для тетрагональной решетки

$$\bar{S}_0 = (0.677 - I)h_\mathrm{MF}^{1/3}. \tag{157}$$

Последний член в скобках в (157) представляет собой $1/z_\perp$-поправку к намагниченности основного состояния,

$$I = \begin{cases} 0.011, & d = 1+2, \\ 0.060, & d = 1+1. \end{cases} \tag{158}$$

Из (157) следует, что намагниченность основного состояния уменьшается почти на 10% по сравнению с ее значением в теории среднего поля для $d = 1+1$ и только на 2% в случае $d = 1+2$. Таким образом, флуктуационные поправки для подрешеточной намагниченности основного состояния гораздо менее важны, чем для температуры Нееля, и в трехмерном случае ими можно пренебречь.

4.4 Сравнение с экспериментальными данными

Рассмотрим применение полученных результатов к описанию экспериментальных данных магнитных квазиодномерных систем. Наиболее изученным квазиодномерным соединением является $KCuF_3$, имеющее спин $S = 1/2$. Эксперименты нейтронного рассеяния [10] приводят к параметру магнитного обмена вдоль цепочек для этого соединения $J = 406$ K и намагниченности основного состояния $\bar{S}_0/S = 0.25$. Как обсуждается в [37], это значение $\bar{S}_0$ соответствует $J'/J = 0.047$, так, что $J' = 19.1$ K. Межцепочечное приближение среднего поля (146) приводит к значению $T_N = 47$ K при этих параметрах, что несколько выше экспериментального результата $T_N = 39$ K [10]. В то же время, результат $1/z_\perp$-разложения (155) $T_N = 37.7$ K находится гораздо ближе к экспериментальному значению. Таким образом, рассматриваемый подход слегка переоценивает флуктуационные эффекты, но значительно улучшает межцепочечное приближение среднего поля. Вклад двойного логарифмического члена в (145) составляет приблизительно 5% и улучшает согласие с экспериментальными данными.

Другое соединение с $S = 1/2$, широко обсуждаемое в литературе, — Sr_2CuO_3 — имеет следующие параметры [11, 12]: $J = 2600$ K, $T_N = 5$ K. Надежные экспериментальные данные для J' отсутствуют, но, используя (155) и экспериментальное значение T_N, находим $J' = 1.85$ K. Тогда из (157) следует $\bar{S}_0/S = 0.042$, что находится в согласии с экспериментальными данными ($\bar{S}_0/S \lesssim 0.05$).

Для Ca_2CuO_3 экспериментальные параметры имеют следующие значения [11, 12]: $S = 1/2$, $J = 2600$ K и $T_N = 11$ K. Из них находим $J' = 4.3$ K и $\bar{S}_0/S = 0.062$, что снова находится в хорошем согласии с экспериментальными данными [12], которые дают $\bar{S}_0(Ca_2CuO_3)/\bar{S}_0(Sr_2CuO_3) = 1.5 \pm 0.1$. Таким образом, результат (155) достаточен для количественного описания реальных квазиодномерных магнитных систем.

Заключение

Квазиодномерные и слоистые магнетики представляют собой пример систем с сильными флуктуациями и нетривиальным поведением термодинамических и магнитных свойств. Исследование этих систем — весьма нетривиальная проблема с точки зрения теоретической физики. Обычная спин-волновая теория (и даже ее усовершенствованный самосогласованный вариант — ССВТ), хотя и приводит к правильному результату для температуры перехода T_M в ведущем логарифмическом приближении, оказывается количественно применимой лишь при температурах $T \ll T_M$. В области более высоких температур необходим учет динамического взаимодействия спиновых волн, выходящий за рамки низшего (борновского) приближения, а также существенно не спин-волновых (в частности, продольных) возбуждений.

Проблема описания термодинамических свойств квазиодномерных и слоистых маг-

нетиков получила существенное развитие в рамках теоретико-полевых методов, примененных к широко распространенной модели магнетизма этих систем — модели Гейзенберга. Использование этих подходов позволяет получить простые аналитические результаты для температурной зависимости намагниченности и величины T_{M}, которые могут быть использованы при практической обработке экспериментальных данных. В квазидвумерных магнетиках в широкой температурной области ниже T_{M} спин-волновая картина спектра возбуждений является адекватной и взаимодействие спиновых волн приводит к появлению поправочных слагаемых в выражениях для намагниченности и обратной температуры Нееля $1/T_{\mathrm{M}}$, значительно улучшающих согласие с экспериментальными данными. Узкая критическая область вблизи T_{M} может быть описана с учетом неспинволновых возбуждений, в том числе в рамках $1/N$-разложения. В квазиодномерных магнетиках переход к бозевским (не спин-волновым) возбуждениям позволяет построить систематическое разложение по обратному координационному числу решетки в направлениях, перпендикулярных к цепочкам.

Таким образом, с теоретической точки зрения в последнее время достигнуто хорошее понимание физической картины спектра и свойств низкоразмерных магнетиков в широком интервале температур. Оно дает основу для количественного описания свойств реальных систем, и мы ставили одной из своих задач привлечь внимание экспериментаторов к этому факту. В то же время при детальном анализе магнетизма конкретных соединений необходим учет дипольного взаимодействия, релятивистских взаимодействий типа Дзялошинского—Мории и т. д. Несмотря на то, что уже имеются первые попытки описания систем с такими взаимодействиями в рамках самосогласованного спин-волнового и теоретико-полевого подходов [104], они ждут своего дальнейшего развития. С другой стороны, широко исследуемые в последнее время комплексные соединения со сложной кристаллической структурой, а также системы типа пленок и мультислоев, рассматривавшиеся ранее в рамках спин-волновой теории [105], требуют более конкретного изучения в рамках описанных подходов.

Близкие проблемы возникают при описании систем, имеющих фрустрированные магнитные структуры — на двумерной квадратной решетке с учетом обменных взаимодействий между следующими за ближайшими соседями [106—110], двумерной треугольной решетке [111—116], решетках Кагоме, пирохлора, [117,118] и т. д. Наличие спиновых фрустраций в таких системах приводит, как и в низкоразмерных соединениях, к подавлению дальнего магнитного порядка (при сохранении ближнего) и, следовательно, к очень нетривиальным термодинамическим свойствам. Фрустрированные системы также рассматривались в рамках спин-волновых теорий [119—124].

Еще одна проблема, актуальная, например, в связи с высокотемпературной сверхпроводимостью и не затронутая нами, — взаимодействие носителей тока с магнитными моментами. Специфика низкоразмерных систем (сильный ближний магнитный по-

рядок) приводит к соответствующим особенностям электронного спектра [125, 126]. Сильное электрон-электронное взаимодействие в этих условиях является дополнительным фактором, приводящим к формированию некогерентных электронных состояний и возможности перехода металл-изолятор. В связи с этим сейчас ведется интенсивное теоретическое и экспериментальное исследование проводящих низкоразмерных систем, находящихся вблизи такого перехода [127—129]. Оно требует развитие существенно новых подходов, в которых, однако, могут быть использованы теоретические методы описания подсистемы локализованных моментов.

Обсуждаемые низкоразмерные системы характеризуются малыми значениями точки магнитного перехода и в ряде случаев (особенно в квазиодномерной ситуации) малым моментом основного состояния, что сближает их со слабыми зонными магнетиками. Эта аналогия является достаточно глубокой и раскрывается в теоретико-полевых подходах, описывающих спектр возбуждений системы с помощью нестандартных представлений (например, метод бозонизации, андерсоновские спиноны и пр.). В последнее время рассматриваются подходы, которые позволяют построить единое описание низкоразмерных и фрустрированных гейзенберговских систем и решеток Кондо, также обладающих малыми моментами [130].

Список литературы

[1] R. J. Birgeneau, H. J. Guggenheim, G. Shirane, Phys. Rev. B **1**, 2211 (1970).

[2] R. J. Birgeneau, H. J. Guggenheim, G. Shirane, Phys. Rev. B **8**, 304 (1973).

[3] *Magnetic properties of layered transition metal compounds*, Ed. L. J. de Jongh, Kluwer, Dordrecht (1989).

[4] P. M. Lahti, *Magnetic properties of organic materials*, Marcel Dekker, New York (1999).

[5] S. J. Blundell, F. L. Pratt. J. Phys. Condens. Matter **16**, R771 (2004).

[6] A. Allenspach, J. Magn. Magn. Mater. **129**, 160 (1994).

[7] R. J. Birgeneau, D. R. Gabbe, H. P. Jenssen et al., Phys. Rev. B **38**, 6614 (1988).

[8] B. Huang, G. Clark, E. Navarro-Moratalla et al., Nature **546**, 270 (2017); K. S. Burch, D. Mandrus, J.-G. Park, Nature **563**, 47 (2018); J.-H. Yang, H. Xiang, Nat. Mater. **18**, 1273 (2019); T. Song, Z. Fei, M. Yankowitz et al., Nat. Mater. **18**, 1298 (2019).

[9] T. Li, Sh. Jiang, N. Sivadas et al., Nat. Mater. **18**, 1303 (2019); B. Niu, T. Su, B. A. Francisco et al., Nano Lett. **20**, 553 (2020).

[10] S. K. Satija, J. D. Axe, G. Shirane et al., Phys. Rev. B **21**, 2001 (1980); D. A. Tennant, Phys. Rev. B **52**, 13381 (1995).

[11] A. Keren, L. P. Le, G. M. Luke et al., Phys. Rev. B **48**, 12926 (1993); T. K. Ami, M. L. Crawford, R. R. Harlow et al., Phys. Rev. B **51**, 5994 (1995).

[12] K. M. Kojima, Y. Fudamoto, M. Larkin et al., Phys. Rev. Lett **78**, 1787 (1997).

[13] M. Kenzelmann, R. A. Cowley, W. J. L. Buyers et al., Phys. Rev. Lett **87**, 017201 (2001); M. Kenzelmann, R. A. Cowley, W. J. L. Buyers et al., Phys. Rev. B **66**, 024407 (2002).

[14] H. Kadowaki, K. Hirakawa, K. Ubukoshi, J. Phys. Soc. Jpn. **52**, 1799 (1983); S. Itoh, K. Kakurai, M. Arai, Y. Endoh, J. Phys. Condens. Matter **5**, 6767 (1993).

[15] E. Dagotto, T. M. Rice, Science **271**, 618 (1996).

[16] P. W. Anderson, Phys. Rev. **86**, 694 (1952).

[17] F. Dyson, Phys. Rev. **102**, 1217 (1956); **102**, 230 (1956).

[18] С. В. Малеев, ЖЭТФ **33**, 1010 (1957).

[19] A. B. Harris, D. Kumar, B. I. Halperin, P. C. Hohenberg, Phys. Rev. B **3**, 961 (1971).

[20] S. Ty, B. I. Halperin, Phys. Rev. B **42**, 2096 (1990).

[21] М. И. Каганов, А. В. Чубуков, УФН **153**, 537 (1987); Ю. А. Косевич, А. В. Чубуков, ЖЭТФ **91**, 1105 (1990).

[22] В. Г. Барьяхтар, В. Н. Криворучко, Д. А. Яблонский, ЖЭТФ **85**, 602 (1983).

[23] В. Г. Барьяхтар, В. Н. Криворучко, Д. А. Яблонский, *Функции Грина в теории магнетизма*, Наукова Думка, Киев (1984).

[24] Т. Мория, *Спиновые флуктуации в магнетиках с коллективизированными электронами*, Мир, Москва (1988).

[25] А. З. Паташинский, В. Л. Покровский, *Флуктационная теория фазовых переходов*, Наука, Москва, (1982).

[26] Л. Д. Ландау, Е.М. Лифшиц, *Электродинамика сплошных сред*, Наука, Москва (1982).

[27] A. V. Chubukov, S. Sachdev, J. Ye, Phys. Rev. B **49**, 11919 (1994).

[28] V. Yu. Irkhin, A. A. Katanin, Phys. Rev. B **55**, 12318 (1997).

[29] V. Yu. Irkhin, A. A. Katanin, Phys. Lett. A. **232**, 143 (1997).

[30] F. D. M. Haldane, Phys. Lett. A **93**, 464 (1983); Phys. Rev. Lett. **50**, 1153 (1983).

[31] I. Affleck, J. Phys. Condens. Matter **1**, 3047 (1989).

[32] D. G. Shelton, A. A. Nersesyan, A. M. Tsvelik, Phys. Rev. B **53**, 8521 (1996).

[33] H. Hori, S. Yamamoto, J. Phys. Soc. Jpn. **73**, 3 (2004).

[34] I. Affleck, M. P. Gelfand, R. R. P. Singh, J. Phys. A **27**, 7313 (1994).

[35] I. Affleck, B. I. Halperin, J. Phys. A **29**, 2627 (1996).

[36] Z. Wang, Phys. Rev. Lett. **78**, 126 (1997).

[37] H. Schulz, Phys. Rev. Lett. **77**, 2790 (1996).

[38] Д. Маттис, *Теория магнетизма*, Мир, Москва (1967).

[39] D. P. Arovas, A. Auerbach, Phys. Rev. B **38**, 316 (1988).

[40] D. J. Yoshioka, J. Phys. Soc. Jpn. **58**, 3733 (1989).

[41] T. Holstein, H. Primakoff, Phys. Rev. **58**, 1098 (1940).

[42] P. D. Loly, J. Phys. C **1**, 1365 (1971).

[43] M. Bloch, Phys. Rev. Lett **9**, 286 (1962).

[44] E. Rastelli, A. Tassi, L. Reatto, J. Phys. C **7**, 1735 (1974).

[45] S. Sarker, Phys. Rev. B **40**, 5028 (1989).

[46] M. Takahashi, Phys. Rev. B **40**, 2494 (1989).

[47] S. Chakravarty, B. I. Halperin, D. R. Nelson, Phys. Rev. B **39**, 2344 (1989).

[48] P. Kopietz, S. Chakravarty, Phys. Rev. B **40**, 4858 (1989).

[49] V. Yu. Irkhin, A. A. Katanin, M. I. Katsnelson, Phys. Lett. A **157**, 295 (1991); ФММ **79** *1*, 65 (1995).

[50] P. Kopietz, Phys. Rev. Lett. **68**, 3480 (1992).

[51] Liu Bang-Gui, J. Phys. Condens. Matter **4**, 8339 (1992).

[52] V. Yu. Irkhin, A. A. Katanin, M. I. Katsnelson, Phys. Rev. B **60**, 1082 (1999).

[53] А. Ф. Барабанов, О. А. Старых, Письма в ЖЭТФ **51**, 271 (1991).

[54] V. Yu. Irkhin, A. A. Katanin, M. I. Katsnelson, J. Phys. Condens. Matter **4**, 5227 (1992).

[55] J. H. Xu, C. S. Ting, Phys. Rev. B **42**, 6861 (1990).

[56] T. Oguchi, H.J. Kitatani, Phys. Soc. Jpn. **59**, 3322 (1990).

[57] H. Nishimori, Y. Saika, J. Phys. Soc. Jpn. **59**, 4454 (1990).

[58] С. В. Тябликов, *Методы квантовой теории магнетизма*, Наука, Москва (1975).

[59] V. Yu. Irkhin, A. A. Katanin, M. I. Katsnelson, Phys. Rev. B **54**, 11953 (1996).

[60] A. V. Chubukov, O. A. Starykh, Phys. Rev. B **52**, 440 (1995).

[61] P. Kopietz, G. Castilla, Phys. Rev. B **43**, 11100 (1991).

[62] A. Katanin, *в печати*.

[63] A. M. Polyakov, Phys. Lett. B **59**, 79 (1975).

[64] E. Brezin, J. Zinn-Justin, Phys. Rev. B **14**, 3110 (1976).

[65] D. R. Nelson, R. A. Pelkovitz, Phys. Rev. B **16**, 2191 (1977).

[66] V. Yu. Irkhin, A. A. Katanin, Phys. Rev. B **57**, 379 (1998).

[67] Э. Л. Нагаев, *Магнетики со сложными обменными взаимодействиями*, Наука, Москва (1988).

[68] J. R. Klauder, Phys. Rev. D **19**, 2349 (1979).

[69] A. Auerbach, *Interacting electrons and quantum magnetism*, Springer, New York (1994).

[70] D. Amit, *Field theory, the renormalization group, and critical phenomena*, World Scientific, Singapore (1984).

[71] Ш. Ма, *Современная теория критических явлений*, Мир, Москва (1980).

[72] H. Kadowaki, K. Ubukoshi, K. Hirakawa et al., J. Phys. Soc. Jpn. **56**, 4027 (1987).

[73] A. N. Ignatenko, V. Yu. Irkhin, A. A. Katanin, Nucl. Phys. B **814**, 439 (2009).

[74] A. N. Ignatenko, V. Yu. Irkhin, A. A. Katanin, Solid State Phenomena, **152—153**, 257 (2009).

[75] M. Wintel, H. U. Everts, W. Apel, Europhys. Lett. **25**, 711 (1994).

[76] J. M. Kosterlitz, J. Phys. C **7**, 1046 (1974).

[77] H. Kawamura, S. Miyashita, J. Phys. Soc. Jpn. **53**, 4138 (1984).

[78] M. Wintel, H. U. Everts, W. Apel, Phys. Rev. B **52**, 13480 (1995).

[79] I. S. Popov, P. V. Prudnikov, A. N. Ignatenko, A. A. Katanin, Phys. Rev. B **95**, 134437 (2017).

[80] T. Pardini, R. R. P. Singh, A. Katanin, O. P. Sushkov, Phys. Rev. B **78**, 024439 (2008).

[81] I. Affleck, Phys. Rev. Lett. **62**, 474 (1989).

[82] S. Sachdev, *Low dimensional quantum field theories for condensed matter physicists*, World Scientific, Singapore (1995).

[83] B. Keimer, A. Aharony, A. Auerbach et al., Phys. Rev. B **45**, 7430 (1992).

[84] G. Aeppli, S. M. Hayden, H. A. Mook et al., Phys. Rev. Lett. **62**, 2052 (1989); K. B. Lyons, P. A. Fleury, J. P. Remeika et al., Phys. Rev. B **37**, 2353 (1988).

[85] A. A. Katanin, A. P. Kampf, Phys. Rev. B **66**, 100403 (2002).

[86] A. Levanjuk, N. Garcia, J. Phys. Condens. Matter **4**, 10277 (1992); P. A. Serena, N. Garcia, A. Levanjuk, Phys. Rev. B **47**, 5027 (1993).

[87] В. Л. Березинский, ЖЭТФ **59**, 907 (1970).

[88] J. M. Kosterlitz, D. J. Thouless, J. Phys. C **6**, 1181 (1973); J. M. Kosterlitz, J. Phys. C **7**, 1046 (1974).

[89] J. V. Jose, L. P. Kadanoff, S. Kirpatrick, D. R. Nelson, Phys. Rev. B **16**, 1217 (1977).

[90] S. Hikami, T. Tsuneto, Progr. Theor. Phys. **63**, 387 (1980).

[91] V. Yu. Irkhin, A. A. Katanin, Phys. Rev. B **60**, 2990 (1999).

[92] A. M. Tsvelik, *Quantum field theory in condensed matter physics*, Cambridge University Press, Cambridge (1995).

[93] I. Affleck, D. Gepner, H.J. Schulz, T.J. Ziman, J. Phys. A **22**, 511 (1989).

[94] F. H. L. Essler, A. M. Tsvelik, G. Delfino, Phys. Rev. B **56**, 11001 (1997).

[95] V. Barzykin, I. Affleck, J. Phys. A **32**, 867 (1999).

[96] H. J. Schulz, Phys. Rev. B **34**, 6372 (1986).

[97] V. Barzykin, cond-mat/9904250.

[98] S. G. Chung, Y. C. Chang, J. Phys. A **20**, 2875 (1987).

[99] O. A. Starykh, A. W. Sandvik, R. R. P. Singh, Phys. Rev. B **55**, 14953 (1997).

[100] V. Yu. Irkhin, A. A. Katanin, Phys. Rev. B **61**, 6757 (2000).

[101] В. Г. Вакс, А. И. Ларкин, С. А. Пикин, ЖЭТФ **53**, 281 (1967).

[102] Ю. А. Изюмов, Ф. А. Кассан-Оглы, Ю. Н. Скрябин, *Полевые методы в теории ферромагнетизма,* Наука, Москва (1974); Ю. А. Изюмов, Ю. Н. Скрябин, *Статистическая механика магнито-упорядоченных систем*, Наука, Москва (1987).

[103] C. Yasuda, S. Todo, K. Hukushima et al., Phys. Rev. Lett. **94**, 217201 (2005).

[104] A. Grechnev, V. Yu. Irkhin, M. I. Katsnelson, O. Eriksson, Phys. Rev. B **71**, 024427 (2005).

[105] V. Yu. Irkhin, A. A. Katanin, M. I. Katsnelson, J. Magn. Magn. Mater. **140—144**, 1695 (1995).

[106] R. Ballon, C. Lacroix, M. D. Nunez, Phys. Rev. Lett. **66**, 1910 (1991).

[107] T. Chattopadhyay, T. Bruchel, P. Burlet, Phys. Rev. B **44**, 7394 (1991).

[108] A. V. Chubukov, J. Phys. Condens. Matter **2**, 4455 (1990).

[109] E. Rastelli, A. Tassi, Phys. Rev. B **44**, 7135 (1991).

[110] J. Ferrer, Phys. Rev. B **47**, 8769 (1993).

[111] Р. С. Гехт, УФН **159**, 261 (1989).

[112] K. Hirota, Y. Nakazawa, M. Ishikawa, Tech. Rep. ISSP A, 2286 (1990).

[113] H. Yoshizawa, H. Mori, K. Hirota, M. Ishikawa, Tech. Rep. ISSP A, 2289 (1990).

[114] A. V. Chubukov, Th. Jolicur, Phys. Rev. B **46**, 11137 (1992).

[115] S. E. Korshunov, Phys. Rev. B **43**, 6165 (1993).

[116] K. Yang, L. K. Warman, S. M. Girvin, Phys. Rev. Lett. **70**, 2641 (1993).

[117] J. N. Reimers, J. E. Gredau, R. K. Kremar et al., Phys. Rev. B **43**, 3387 (1991); J. N. Reimers, J. E. Greedan, C. V. Stager et al., Phys. Rev. B **43**, 5692 (1991).

[118] B. D. Gaulin, J. N. Reimers, T. E. Matson, J. E. Greeden, Z. Tun, Phys. Rev. Lett. **63**, 3244 (1992).

[119] J. H. Xu, C. S. Ting, Phys. Rev. B **42**, 6861 (1990).

[120] H. Nishimori, Y. Saika, J. Phys. Soc. Jpn. **53**, 4454 (1990).

[121] Th. Jolicur, J. Guillom, Phys. Rev. B **40**, 2727 (1989).

[122] D. Yoshioka, Y. Miyazaki, J. Phys. Soc. Jpn. **60**, 614 (1991).

[123] U. Hizi, S. Prashant, C. L. Henley, Phys. Rev. Lett. **95**, 167203 (2005); U. Hizi, C. L. Henley, Phys. Rev. B **73**, 054403 (2006).

[124] A. G. Del Maestro, M. J. P. Gingras, J. Phys. Condens. Matter **16**, 3339 (2004).

[125] V. Yu. Irkhin, M. I. Katsnelson, J. Phys. Condens. Matter **3**, 6439 (1991); Phys. Rev. B **62**, 5647 (2000).

[126] V. Yu. Irkhin, M. I. Katsnelson, Phys. Rev. B **53**, 14008 (1996); Eur. Phys. J. B **19**, 401 (2001).

[127] T. A. Maier, T. Pruschke, M. Jarell, Phys. Rev. B **66**, 075102 (2002).

[128] D. Senechal, A. M. S. Tremblay, Phys. Rev. Lett. **92**, 126401 (2004).

[129] M. Civelli, M. Capone, S. S. Kancharla et al., Phys. Rev. Lett. **95**, 106402 (2005).

[130] P. Coleman, Physica B **378**—**380**, 1160 (2006).